

世界超高清视频产业联盟团体标准

T/UWA 050—2026

支持六自由度交互的三维图像格式

Six Degrees of Freedom (6DoF) Interactive 3D Image Format

2026 - 05 - 28 发布

2026 - 05 - 28 实施

目 次

前言	III
引言	IV
1 范围	1
2 规范性引用文件	1
3 术语和定义	1
4 缩略语	2
5 符号与运算	3
5.1 总体要求	3
5.2 算术运算符	3
5.3 逻辑运算符	3
5.4 关系运算符	3
5.5 位运算符	4
5.6 赋值	4
5.7 数学函数	4
5.8 结构关系符	5
5.9 位流语法的描述方法	5
5.10 函数	7
5.11 描述符	7
5.12 保留、禁止和标记位	7
6 支持六自由度交互的三维图像格式框架	8
7 基于 glTF 的三维图像格式存储	8
7.1 概述	8
7.2 三维图元	9
7.3 HDR	12
7.4 观看信息参数	15
7.5 音频	20
7.6 渲染空间参数	21
8 三维高斯泼溅压缩格式和解码	25
8.1 概述	25
8.2 EGSC 压缩格式和解码	25
9 基于 ISOBMFF 的三维图像格式封装	45
9.1 概述	45
9.2 基于 ISOBMFF 封装 glTF 规范	45
9.3 基于 MP4 的三维图像格式封装实例	46
9.4 基于 HEIF 的三维图像格式封装实例	48
附 录 A （规范性） 档次	49

附录 B (资料性) 三维高斯泼溅的 HDR 渲染参数使用推荐方案	50
参考文献	51

前 言

本文件按照GB/T 1.1—2020《标准化工作导则 第1部分：标准化文件的结构和起草规则》的规定起草。

请注意本文件的某些内容可能涉及专利。本文件的发布机构不承担识别专利的责任。

本文件由世界超高清视频产业联盟提出。

本文件由世界超高清视频产业联盟归口。

本文件起草单位：华为技术有限公司、中央广播电视总台、小红书科技有限公司、马栏山音视频实验室、维沃移动通信有限公司、浙江大学、北京字节跳动网络技术有限公司、咪咕文化科技有限公司、中国信息通信研究院、中国电子技术标准化研究院、京东集团股份有限公司、凌云光技术股份有限公司、北京中视广信科技有限公司、杭州当虹科技股份有限公司、广州视源电子科技股份有限公司、苏州智聚芯联微电子有限公司、优酷信息技术(北京)有限公司、中国电信天翼数字生活科技有限公司、深圳市其域创新科技有限公司、北京广安渲光科技有限公司。

本文件主要起草人：涂晨曦、蔡康颖、吴畏、任荟文、胡颖、马学睿、高立鑫、廖依伊、虞露、刘景松、毕蕾、高山、陈曦、翟云、陈仁伟、李婧欣、黄泰成、吴震宇、熊伟、刘博文、孙剑、陈家兴、万锦山、陶炳俊、黎安伟、关宇昕、于登淼、陈柏林、李旭诚、奚溪、方伟、赵开勇、颜青松、张志恒、方顺。

引 言

本文件由世界超高清视频产业联盟制定。

本文件的发布机构提请注意，声明符合本文件时，可能涉及到5、6、7、8、9中如下13项与三维图像格式技术相关的专利的使用。专利名称如下：

202511233833.7 一种传输、渲染三维场景数据的方法及装置；PCT/CN2025/133667 场景数据的编解码方法及相关装置；PCT/CN2025/133665 场景数据的编解码方法及相关装置；PCT/CN2025/133582 三维场景数据的编码方法、解码方法及相关装置；202511599336.9 三维数据的编码方法、解码方法、装置及系统；202511157272.7 三维场景数据封装和解封装方法、装置、设备和系统；202510777034.X 一种数据封装方法、读取方法及设备；PCT/CN2025/133186 三维场景数据的处理方法及装置；202510089693.4 3DGS模型的编码方法、解码方法及相关装置；CN202511585759.5 三维数据封装方法及相关产品；CN202610024968.0 数据封装方法、数据渲染方法及相关产品；CN202610363961.1 数据封装方法及相关产品；2025111685227 三维高斯数据展示方法、系统、介质、设备和程序产品。

本文件的发布机构对于该专利的真实性、有效性和范围无任何立场。

专利持有人已向本文件的发布机构保证，他愿意同任何申请人在合理且无歧视的条款和条件下，就专利授权许可进行谈判。该专利持有人的声明已在本文件的发布机构备案。相关信息可以通过以下联系方式获得：

专利权人	联系地址
华为技术有限公司	广东省深圳市龙岗区坂田华为总部办公楼
小红书科技有限公司	北京市朝阳区安定路5号中海国际中心
马栏山音频实验室	湖南省长沙市开福区月湖街道文创路6号马栏山创意中心B栋

联系人：高艳炫

通讯地址：北京市东城区安定门东大街1号 中国电子技术标准化研究院

邮政编码：100007

电 话：13683269839/01064102619

传 真：01084029217

请注意除上述专利外，本文件的某些内容仍可能涉及专利。本文件的发布机构不承担识别这些专利的责任。

支持六自由度交互的三维图像格式

1 范围

本文件规定了支持六自由度交互的三维图像的文件格式，包含基于glTF的三维图像格式存储、三维高斯泼溅压缩格式和解码、基于ISOBMFF的三维图像格式封装。

本文件适用于支持六自由度交互的三维图像拍摄与重建、存储、编辑与传输的使用场景。

2 规范性引用文件

下列文件中的内容通过文中的规范性引用而构成本文件必不可少的条款。其中，注日期的引用文件，仅该日期对应的版本适用于本文件；不注日期的引用文件，其最新版本（包括所有的修改单）适用于本文件。

GB/T 46269.1-2025 高动态范围（HDR）视频技术第1部分：元数据及适配

ISO/IEC 12113:2022 信息技术—运行时三维资产交付格式（Information technology — Runtime 3D asset delivery format — Khronos glTF™ 2.0）

ISO/IEC 14496-10 信息技术—视听对象的编码 第10部分：高级视频编码（Information technology — Coding of audio-visual objects — Part 10: Advanced Video Coding）

ISO/IEC 14496-12 信息技术—视听对象编码 第12部分：ISO基本媒体文件格式（Information technology — Coding of audio-visual objects — Part 12: ISO base media file format）

ISO/IEC 14496-14 信息技术—视听对象编码 第14部分：MP4文件格式（Information technology — Coding of audio-visual objects — Part 14: MP4 file format）

ISO/IEC 23008-2 信息技术—异构环境中的高效率编码和媒体传送 第2部分：高效率视频编码（Information technology — High efficiency coding and media delivery in heterogeneous environments — Part 2: High efficiency video coding）

ISO/IEC 23008-12 信息技术—MPEG系统技术 第12部分：图像文件格式（Information technology — MPEG systems technologies — Part 12: Image File Format）

ISO/IEC 23090-3 信息技术—沉浸式媒体的编码表示 第3部分：通用视频编码（Information technology — Coded representation of immersive media — Part 3: Versatile video coding）

ISO/IEC 23090-14:2023 信息技术—沉浸式媒体的编码表示 第14部分：场景描述（Information technology — Coded representation of immersive media—Part 14: Scene description）

ITU-R BT.709-6 节目制作和国际节目交换中使用高清晰度电视标准的参数值（Parameter values for the HDTV standards for production and international programme exchange）

ITU-R BT.1886 HDTV 工作室制作中的平板显示器的参考光电转换功能（Reference electro-optical transfer function for flat panel displays used in HDTV studio production）

ITU-R BT.2020-1 超高清电视系统节目制作和国际交换的参数数值（Parameter values for ultra-high definition television systems for production and international programme exchange）

ITU-R BT.2100-3 用于制作和国际节目交换的高动态范围电视图像参考值（Image parameter values for high dynamic range television for use in production and international programme exchange）

CIE1931标准色度系统（standard colorimetric system）

SMPTE ST.2084 高动态范围电光转换函数（High Dynamic Range Electro-Optical Transfer Function of Mastering Reference Displays）

Khronos, KHR_animation_pointer, ISO/IEC 12113:2022 Khronos glTF 2.0 扩展
https://github.com/KhronosGroup/glTF/tree/main/extensions/2.0/Khronos/KHR_animation_pointer

Khronos, KHR_gaussian_splatting, ISO/IEC 12113:2022 Khronos glTF 2.0 扩展
https://github.com/KhronosGroup/glTF/tree/main/extensions/2.0/Khronos/KHR_gaussian_splatting

3 术语和定义

下列术语和定义适用于本文件。

3.1

网格 mesh

由顶点、边、面组成的多边形几何结构，其通过连接顶点形成三角形/多边形面片。

注：用于表示一个完整的3D对象。

3.2

点云 point cloud

三维空间中用于表征物体或场景的离散三维坐标点集合。

注：可用于表示一个完整的3D对象。

3.3

图元 primitives

glTF规范中构建3D模型的基础单元。

注：通过键值对绑定顶点属性、索引数据、绘制模式与材质，完整定义单个几何体的渲染参数与数据引用规则。

3.4

三维高斯泼溅 3D gaussian splatting

以参数化三维高斯基元集合表征三维场景几何形态与外观特征的技术。

注：实现高保真、实时性自由视角场景重建与视图合成的神经网络三维重建方法。

3.5

图形库传输格式 glTF

由 Khronos Group 制定的、面向渲染引擎的开放式 3D 资产交换与传输标准格式。

注：以 JSON 为核心结构描述 3D 场景的层级、几何体、材质、动画、相机等核心要素，广泛适配 Web 渲染、AR/VR、3D 可视化等场景的 3D 内容高效加载与分发。

3.6

属性 attributes

glTF中定义的顶点属性数据。

注：包含了"NORMAL"、"POSITION"、"TEXCOORD_0"、"TANGENT"、“COLOR_0”、“WEIGHTS_0”等，对应数据的类型、布局与取值范围可通过关联的访问器（accessor）查询。

3.7

扩展 extension

glTF 规范提供的标准化功能扩展机制，用于在不修改核心规范的前提下，新增扩展功能。

3.8

访存器 accessors

glTF中定义存储在缓冲区中的数据的数据类型和描述的单元。

注：通过引用缓冲视图（bufferView）指向二进制数据源，同时定义了数据的类型、数量等解析参数。

3.9

缓冲视图 bufferView

glTF规范中对缓冲区（buffer）内一段二进制数据的标准化引用与结构描述，定义了目标数据段在缓冲区中的字节偏移量、字节长度、内存步长（stride）。

3.10

HDR Vivid 元数据 HDR Vivid metadata

描述视频或者图像处理过程中需要的关键信息和特征的数据。

来源：GB/T 46269.1-2025。

3.11

色彩空间 color space

一个经过定义的、有序的范围或系统，用于表示和再现颜色，包括色域和传递函数两部分。

注1：色域定义了设备如何在特定的边界（色域）内，使用特定的组件（如sRGB中的红、绿、蓝）来解读和显示颜色，以确保在屏幕、打印机和相机等设备上进行一致的查看和编辑。

注2：传递函数定义了显示器如何将线性域的颜色转换为非线性域的颜色以适应人眼对光的感受特点。

4 缩略语

下列缩略语适用于本文件

3DGS: 三维高斯泼溅 (3D Gaussian Splatting)

DOF: 自由度 (Degree of Freedom)

HDR: 高动态范围 (High Dynamic Range)

HEIF: 高效图像文件格式 (High Efficiency Image File Format)

ISOBMFF: ISO基础媒体文件格式 (ISO Base Media File Format)

SH: 球谐 (Spherical Harmonic)

URI: 统一资源标识符 (Uniform Resource Identifier)

5 符号与运算

5.1 概述

本文件中使用的数学运算符和优先级参照C语言。但对整型除法和算术移位操作进行了特定定义。除特别说明外, 约定编号和计数从0开始。

5.2 算术运算符

算术运算符定义见表1。

表 1 算术运算符定义

算术运算符	定义
+	加法运算
-	减法运算 (二元运算符) 或取反 (一元前缀运算符)
×	乘法运算
a^b	幂运算, 表示 a 的 b 次幂。也可表示上标
/	整除运算, 沿向 0 的取值方向截断。例如, $7/4$ 和 $-7/4$ 截断至 1, $-7/4$ 和 $7/4$ 截断至 -1
÷	除法运算, 不做截断或四舍五入
$\frac{a}{b}$	除法运算, 不做截断或四舍五入
$\sum_{i=a}^b f(i)$	自变量 i 取由 a 到 b (含 b) 的所有整数值时, 函数 $f(i)$ 的累加和
$a \% b$	模运算, a 除以 b 的余数, 其中 a 与 b 都是正整数
[.]	下取整

5.3 逻辑运算符

逻辑运算符定义见表2。

表 2 逻辑运算符定义

逻辑运算符	定义
$a \ \&\& \ b$	a 和 b 之间的与逻辑运算
$a \ \ b$	a 和 b 之间的或逻辑运算
!	逻辑非运算

5.4 关系运算符

关系运算符定义见表3。

表3 关系运算符定义

关系运算符	定义
>	大于
>=	大于或等于
<	小于
<=	小于或等于
==	等于
!=	不等于

5.5 位运算符

位运算符定义见表4。

表4 位运算符定义

位运算符	定义
&	与运算
	或运算
~	取反运算
$a \gg b$	将 a 以2的补码整数表示的形式向右移 b 位。仅当 b 取正数时定义此运算
$a \ll b$	将 a 以2的补码整数表示的形式向左移 b 位。仅当 b 取正数时定义此运算

5.6 赋值

赋值运算定义见表5。

表5 赋值运算定义

赋值运算	定义
=	赋值运算符
++	递增, $x++$ 相当于 $x = x + 1$ 。当用于数组下标时, 在自加运算前先求变量值
--	递减, $x--$ 相当于 $x = x - 1$ 。当用于数组下标时, 在自减运算前先求变量值
+=	自加指定值, 例如 $x += 3$ 相当于 $x = x + 3$, $x += (-3)$ 相当于 $x = x + (-3)$
-=	自减指定值, 例如 $x -= 3$ 相当于 $x = x - 3$, $x -= (-3)$ 相当于 $x = x - (-3)$

5.7 数学函数

数学函数定义见公式(1)~公式(10)。

$$\text{Abs}(x) = \begin{cases} x, & x \geq 0 \\ -x, & x < 0 \end{cases} \quad (1)$$

式中:

x ——自变量。

$$\text{Floor}(x) = [x] \quad (2)$$

式中:

x ——自变量。

$$\text{Clip3}(i, j, x) = \begin{cases} i, & x < i \\ j, & x > j \\ x, & \text{其他} \end{cases} \quad (3)$$

式中：
 x ——自变量；
 i ——下界；
 j ——上界。

$$\text{Median}(x, y, z) = x + y + z - \text{Min}(x, \text{Min}(y, z)) - \text{Max}(x, \text{Max}(y, z)) \quad (4)$$

式中：
 x ——自变量；
 y ——自变量；
 z ——自变量。

$$\text{Min}(x, y) = \begin{cases} x, & x \leq y \\ y, & x > y \end{cases} \dots\dots\dots (5)$$

式中：
 x ——自变量；
 y ——自变量。

$$\text{Max}(x, y) = \begin{cases} x, & x \geq y \\ y, & x < y \end{cases} \dots\dots\dots (6)$$

式中：
 x ——自变量；
 y ——自变量。

$$\text{Sign}(x) = \begin{cases} 1, & x \geq 0 \\ -1, & x < 0 \end{cases} \dots\dots\dots (7)$$

式中：
 x ——自变量。

$$\text{Log}(x) = \log_2 x \dots\dots\dots (8)$$

式中：
 x ——自变量。

$$\text{Ln}(x) = \log_e x \dots\dots\dots (9)$$

式中：
 x ——自变量；
 e ——自然对数的底，其值为2.718281828…。

$$\text{pow}(x, y) = x^y \dots\dots\dots (10)$$

式中：
 x ——自变量；
 y ——自变量。

5.8 结构关系符

结构关系符定义见表6。

表6 结构关系符

结构关系符	定义
->	例如： $a \rightarrow b$ 表示 a 是一个结构， b 是 a 的一个成员变量

5.9 位流语法的描述方法

位流语法描述方法类似C语言。位流的语法元素使用粗体字表示，每个语法元素通过名字（用下划线分割的英文字母组，所有字母都是小写）、语法和语义来描述。语法表和正文中语法元素的值用常规字体表示。

某些情况下，可在语法表中应用从语法元素导出的其他变量值，这样的变量在语法表或正文中用带下划线的小写字母命名，或者用小写字母和大写字母混合命名。大写字母开头的变量用于解码当前以及相关的语法结构，也可用于解码后续的语法结构。小写字母开头的变量只在当前以及相关的语法结构内使用。

语法元素值的助记符和变量值的助记符与它们的值之间的关系在正文中说明。在某些情况下，二者等同使用。

位串的长度是4的整数倍时，可使用十六进制符号表示。十六进制的前缀是“0x”，例如“0x1a”表示位串“0001 1010”。

条件语句中0表示FALSE，非0表示TRUE。

语法表描述了所有符合本文件的位流语法的超集，附加的语法限制在相关条中说明。

表7给出了描述语法的伪代码例子。当语法元素出现时，表示从位流中读一个数据单元。

表 7 语法描述的伪代码示例

伪代码
/*语句是一个语法元素的描述符，或者说明语法元素的存在、类型和数值，下面给出两个例子。*/
syntax_element
conditioning statement
/*花括号括起来的语句组是复合语句，在功能上视作单个语句。*/
{
statement
...
}
/*“while”语句测试condition是否为TRUE，如果为TRUE，则重复执行循环体，直到condition不为TRUE。*/
while (condition)
statement
/*“do ... while”语句先执行循环体一次，然后测试condition是否为TRUE，如果为TRUE，则重复执行循环体，直到condition不为TRUE。*/
do
statement
while (condition)
/*“if ... else”语句首先测试condition，如果为TRUE，则执行primary语句，否则执行alternative语句。如果alternative语句不需要执行，结构的“else”部分和相关的alternative语句可忽略。*/
if (condition)
primary statement
else
alternative statement
/*“for”语句首先执行initial语句，然后测试condition，如果conditon为TRUE，则重复执行primary语句和

subsequent语句直到condition不为TRUE。*/
for (initial statement; condition; subsequent statement)
primary statement

解析过程和解码过程用文字和类似C语言的伪代码描述。

5.10 函数

5.10.1 next_start_code()

在位流中寻找下一个起始码，将位流指针指向起始码前缀的第一个二进制位。函数定义应符合表8的规定。

表 8 next_start_code 函数的定义

函数定义	描述符
next_start_code() {	
stuffing_bit	'1'
while (! byte_aligned())	
stuffing_bit	'0'
while (next_bits(24) != '0000 0000 0000 0000 0000 0001')	
stuffing_byte	'00000000'
}	
stuffing_byte应出现图像头之后和第一个片起始码之前。	

5.10.2 byte_aligned()

如果位流的当前位置是字节对齐的，返回TRUE，否则返回FALSE。

5.10.3 read_bits(n)

返回位流的随后n个二进制位，MSB在前，同时位流指针前移n个二进制位。如果n等于0，则返回0，位流指针不前移。

5.11 描述符

描述符表示不同语法元素的解析过程，见表9。

表 9 描述符

描述符	说明
b(8)	一个任意取值的字节。解析过程由函数read_bits(8)的返回值规定
f(n)	取特定值的连续n个二进制位。解析过程由函数read_bits(n)的返回值规定
r(n)	连续n个‘0’。解析过程由函数read_bits(n)的返回值规定
u(n)	n位无符号整数。在语法表中，如果n是“v”，其位数由其他语法元素值确定。解析过程由函数read_bits(n)的返回值规定，该返回值用高位在前的二进制表示
i(n)	n位有符号整数
st(n)	n个UTF-8格式字符
fp(n)	n位浮点数，n可以是16或者32
ur(64)	使用两个32位无符号数val1和val2，变量的值为val1/val2
ir(64)	使用一个32位有符号数val1和一个32位无符号数val2，变量的值为val1/val2

5.12 保留、禁止和标记位

本文件定义的位流语法中，某些语法元素的值被标注为“保留”（reserved）或“禁止”（forbidden）。

“保留”定义了一些特定语法元素值用于将来对本文件的扩展。这些值不应出现在符合本文件的位流中。

“禁止”定义了一些特定语法元素值，这些值不应出现在符合本文件的位流中。

“标记位”（marker_bit）指该位的值应为‘1’。

位流中的“保留位”（reserved_bits）表明保留了一些语法单元用于将来对本文件的扩展，解码处理应忽略这些位。

6 支持六自由度交互的三维图像格式框架

本文件定义支持六自由度交互的三维图像的格式，包含基于gITF的三维图像格式和封装gITF三维图像格式的ISOBMFF文件格式。其中gITF存储既可作为独立格式使用，也可作为MP4或者HEIF封装中的一项内容被使用。支持六自由度交互的三维图像格式框架如图1所示。

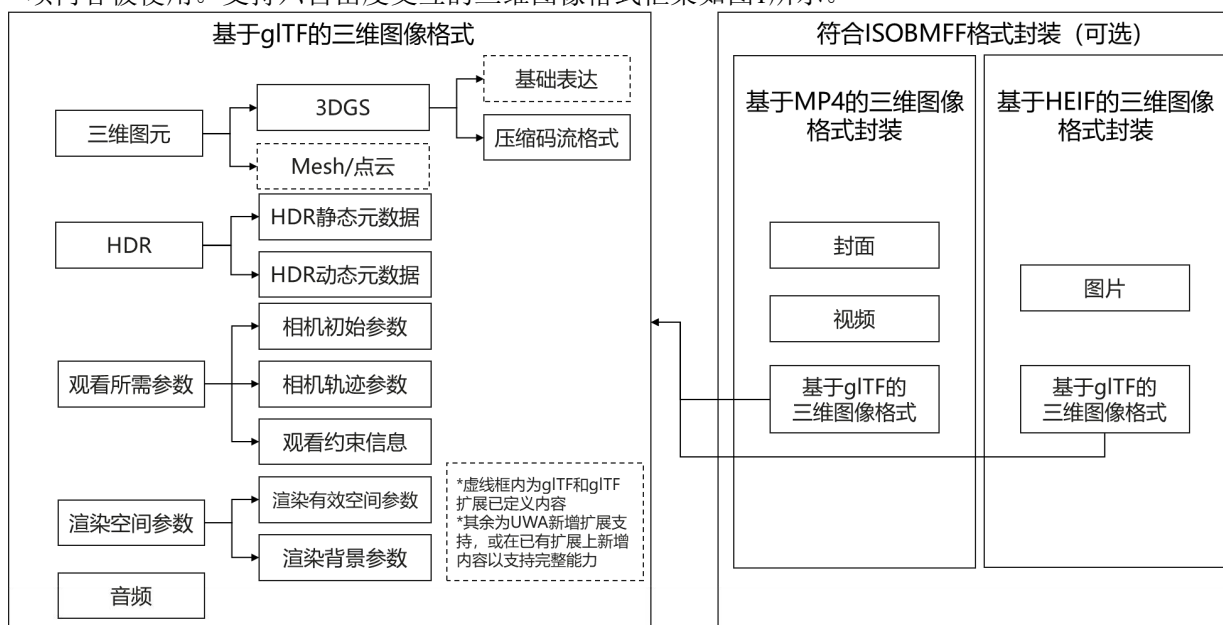


图1 支持六自由度交互的三维图像格式框架

使用gITF格式作为三维图像格式时，其格式应符合本文件第7章的规范，且符合ISO/IEC 12113:2022。gITF格式支持存储以下内容：

- 三维图元：支持3DGS、网格及点云的存储；
- HDR元数据扩展信息；
- 观看信息参数：包含相机初始参数、相机轨迹参数及观看约束信息；
- 音频数据；
- 渲染空间参数。

3DGS数据支持两种存储方式：一是采用gITF直接存储3DGS基础表达；二是采用gITF存储3DGS压缩码流格式，且压缩码流格式的内容应符合本文件第8章的规范。

本文件第9章定义基于ISOBMFF的封装三维图像文件格式规范，包括MP4文件格式和HEIF文件格式。

7 基于gITF的三维图像格式存储

7.1 概述

基于gITF存储三维图像格式，包含：三维图元，HDR元数据扩展，观看信息参数，音频和渲染空间参数，遵循ISO/IEC 12113:2022规范，整体结构如图2所示。本文件规定的gITF存储三维图像格式在传输和分享中可作为独立格式使用。

其中，三维图元存储在gITF中的meshes/primitive字段下，支持网格/点云等三维图元的表达，扩展

支持存储 3DGS 数据的格式，其中 3DGS 基础表达符合 KHR_gaussian_splatting 的定义，3DGS 压缩码流可以通过扩展字段存储，本标准支持 UWA_gaussian_splatting_compression_EGSC 扩展。

HDR 元数据扩展存储在 glTF 中，新增扩展 UWA_hdr_static_metadata 支持存储 HDR 静态元数据和新增扩展 UWA_hdr_vivid_dynamic_metadata 支持存储 HDR 动态元数据。

观看信息参数包含相机初始参数，相机轨迹参数和观看约束信息，其中相机初始参数存储在 glTF 的 nodes 和 cameras 字段下，新增扩展 UWA_user_camera_label 存储观看相机标签；相机轨迹参数存储在 glTF 的 animation 字段下，新增扩展 UWA_camera_trajectory_label 存储相机轨迹标签；观看约束信息通过新增扩展 UWA_viewing_constraints 存储在 glTF 的 nodes 字段下。

音频存储在 glTF 中，支持存储音频特性描述（如声源特性、听者信息、音效信息等），和音频媒体资产描述（如声源类型、播放控制、与媒体轨道的关联关系等），新增音频缓冲视图描述扩展 UWA_bufferview_audio。

渲染空间参数存储在 glTF 的 scene 字段下，新增扩展 UWA_scene_clipped 支持存储渲染有效空间参数和新增扩展 UWA_spatial_background 支持存储渲染背景参数。

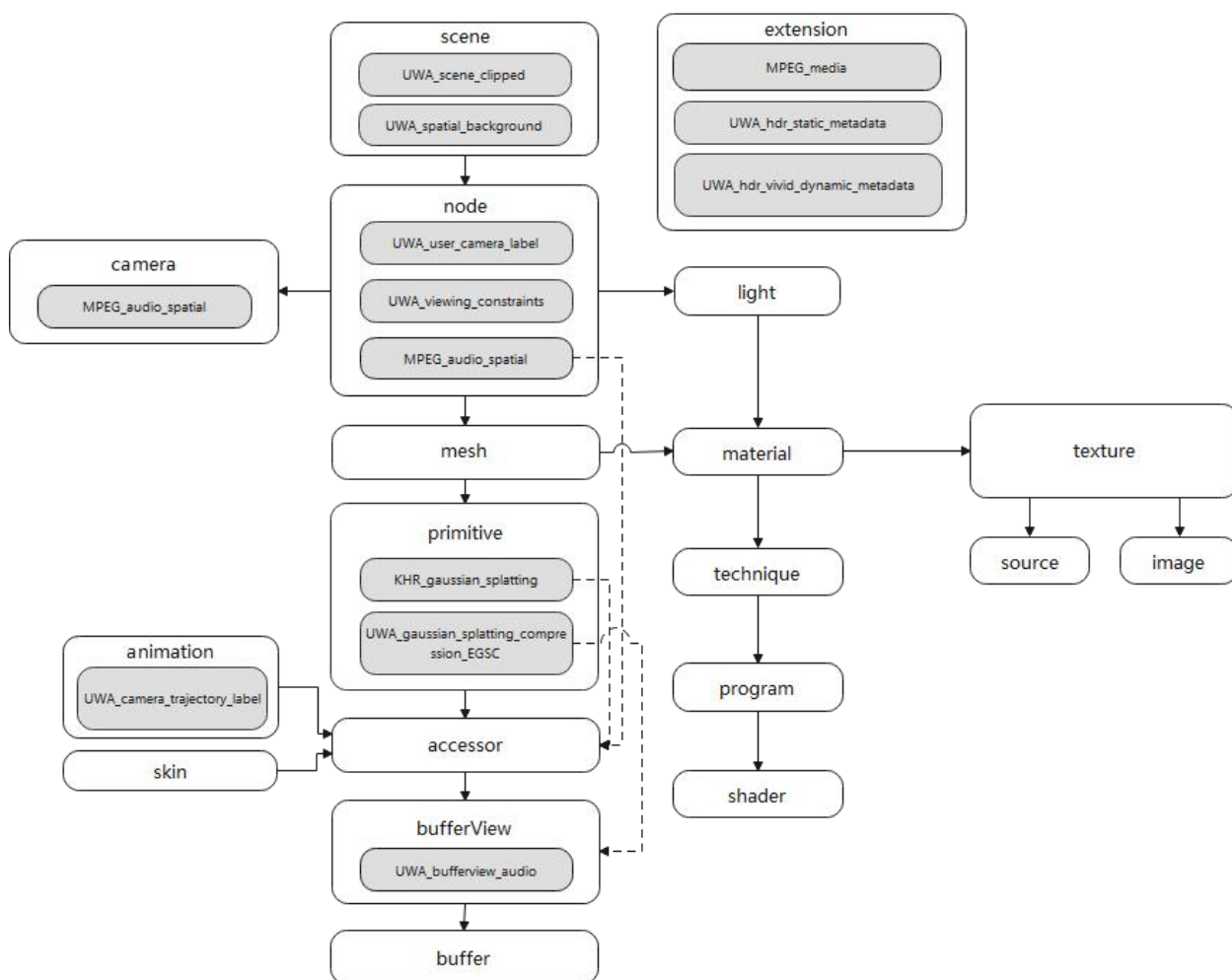


图 2 glTF 存储三维图像格式

7.2 三维图元

7.2.1 三维高斯泼溅

7.2.1.1 概述

3DGS 数据位于 glTF 格式中 primitives 字段下，描述了使用 glTF 存储 3DGS 的方法，包含：

a) 3DGS 的属性组成；

- b) 使用 glTF 存储 3DGS 的基础表达；
- c) 使用 glTF 存储 3DGS 的压缩码流格式。

7.2.1.2 三维高斯泼溅的属性

3DGS 由多个高斯球组成，每个高斯球具有 Position, Opacity, Scale, Rotation 和球谐 (SH) 系数属性，如表 10 所示。

表 10 三维高斯泼溅属性维度和数据类型

3DGS 属性	维度	数据类型
Position	3	float32
Opacity	1	float32
Scale	3	float32
Rotation	4	float32
SPHERICAL_HARMONICS_DEGREE_0_COEFFICIENT_0	3	float32
SPHERICAL_HARMONICS_DEGREE_l_COEFFICIENT_n	3	float32
colorSpace	1	string

Position: 定义高斯分布在 3D 空间中的中心点坐标 (x,y,z)，决定了该高斯球在场景中的位置。

Opacity: 控制高斯球的透明程度 (范围 0 到 1)，0 表示完全透明，1 表示完全不透明；在混合多个高斯球时用于决定其贡献权重 (alpha blending)。

Scale: 定义高斯分布在三个轴上的缩放系数，控制高斯球形状的大小；

Rotation: 用四元数 (quaternion) 表示高斯的方向，控制高斯球的朝向。

SPHERICAL_HARMONICS_DEGREE_0_COEFFICIENT_0: 球谐系数 0 阶的系数。

SPHERICAL_HARMONICS_DEGREE_l_COEFFICIENT_n: 球谐系数 l 阶第 n 个分量的系数，记录高斯球在不同光照方向和视角下的颜色变化。

colorSpace: 定义三维场景图元的色彩属性，包括色域和转换函数。

7.2.1.3 glTF 存储三维高斯泼溅基础表达

3DGS 基础表达的存储符合 Khronos glTF 2.0 的 KHR_gaussian_splatting 扩展的定义，该扩展字段位于 mesh.primitives 字段下。

KHR_gaussian_splatting.colorSpace 为支持 3DGS 色彩空间的字段。新增 UWA_gaussian_splatting_wide_gamut_color 用于扩展 colorSpace 属性的广色域色彩空间选项，扩展 colorSpace 属性的取值可以为“BT.2020-ITU”，“BT.2020-linear”，“BT.2100-PQ”，“BT.2100-HLG”，“Display-P3”。

取值为 BT.2020-ITU 时，使用 ITU-R BT.2020 定义的色域，使用 ITU-R BT.1886 定义的传递函数编码的非线性域颜色；

取值为 BT.2020-linear 时，使用 ITU-R BT.2020 定义的色域，使用未经编码的线性域颜色；

取值为 BT.2100-PQ 时，使用 ITU-R BT.2100 定义的色域，使用在 SMPTE ST.2084 定义的传递函数编码的非线性域颜色；

取值为 BT.2100-HLG 时，使用在 ITU-R BT.2100 定义的色域，使用在 ITU-R BT.2100 定义的传递函数编码的非线性域颜色；

取值为 Display-P3 时，使用在 Display-P3 中定义的色域和传递函数。

当存在处于不同色彩空间的 3DGS 需要混合渲染时，宜采用的渲染方案见附录 B.2。

7.2.1.4 glTF 存储三维高斯泼溅压缩码流

7.2.1.4.1 概述

基于 glTF 存储 3DGS 压缩码流包括存储 3DGS 压缩码流格式字段和语义，以及 3DGS 压缩码流的解码。

其中 glTF 可以支持通过扩展的形式接入各类标准编解码方案，本标准支持的编解码方案包括：Efficient Gaussian Splatting Codec (EGSC)。

7.2.1.4.2 glTF 存储三维高斯泼溅压缩码流格式字段和语义

UWA_gaussian_splatting_compression_EGSC 扩展：用于在 glTF 中存储使用 EGSC 方案压缩 3DGS 码流的数据，其中码流格式见 8.2.3，解码方法见 8.2.6。

UWA_gaussian_splatting_compression_EGSC 扩展依赖于 KHR_gaussian_splatting 扩展，位于 primitives.KHR_gaussian_splatting.extensions 中，如表 11 所示。其中，bufferView 字段符合 ISO/IEC 12113:2022 中 5.11 的规定。

表 11 glTF 存储三维高斯泼溅压缩码流格式的字段

定义	描述符
meshes{	
primitives{	
mode	i(32)
attributes{	
POSITION	i(32)
COLOR_0	i(32)
KHR_gaussian_splatting:OPACITY	i(32)
KHR_gaussian_splatting:SCALE	i(32)
KHR_gaussian_splatting:ROTATION	i(32)
KHR_gaussian_splatting:SH_DEGREE_0_COEF_0	i(32)
KHR_gaussian_splatting:SH_DEGREE_1_COEF_0	i(32)
KHR_gaussian_splatting:SH_DEGREE_1_COEF_1	i(32)
KHR_gaussian_splatting:SH_DEGREE_1_COEF_2	i(32)
KHR_gaussian_splatting:SH_DEGREE_2_COEF_0	i(32)
KHR_gaussian_splatting:SH_DEGREE_2_COEF_1	i(32)
KHR_gaussian_splatting:SH_DEGREE_2_COEF_2	i(32)
KHR_gaussian_splatting:SH_DEGREE_2_COEF_3	i(32)
KHR_gaussian_splatting:SH_DEGREE_2_COEF_4	i(32)
KHR_gaussian_splatting:SH_DEGREE_3_COEF_0	i(32)
KHR_gaussian_splatting:SH_DEGREE_3_COEF_1	i(32)
KHR_gaussian_splatting:SH_DEGREE_3_COEF_2	i(32)
KHR_gaussian_splatting:SH_DEGREE_3_COEF_3	i(32)
KHR_gaussian_splatting:SH_DEGREE_3_COEF_4	i(32)
KHR_gaussian_splatting:SH_DEGREE_3_COEF_5	i(32)
KHR_gaussian_splatting:SH_DEGREE_3_COEF_6	i(32)
}	
extensions{	
KHR_gaussian_splatting{	
kernel	st(n)
colorSpace	st(n)
sortingMethod	st(n)
projection	st(n)
extensions{	
UWA_gaussian_splatting_compression_EGSC{	
bufferView	i(32)
}	
}	
}	

}	
}	
}	
}	

7.2.1.4.3 glTF 存储三维高斯泼溅压缩码流格式解码

使用 3DGS 压缩码流格式进行解码的步骤如下：

- a) 识别 UWA_gaussian_splatting_compression_EGSC 字段，判断是否存在 3DGS 压缩码流；
- b) 解析扩展中的 3DGS 压缩数据；根据 bufferView 获取 3DGS 压缩数据，解析 bufferView 中对应的压缩码流数据的位置索引字段，即 buffer，byteLength 和 byteOffset，获取全部压缩数据；
- c) 将 3DGS 压缩数据依据 8.2.6 的解码方式进行解码，得到解码数据。

7.2.2 网格/点云

应符合 ISO/IEC 12113:2022 中 5.23 的规定。

7.3 HDR

7.3.1 概述

HDR 元数据属性在 GB/T 46269.1-2025 中定义，包含静态元数据、动态元数据。

根据 glTF 文件中的 HDR 元数据选择对 3DGS 作 HDR 或 SDR 渲染的推荐方案见附录 B.1。

确定渲染视角的 HDR 元数据的推荐方案见附录 B.3。

7.3.2 HDR 静态元数据属性

HDR 静态元数据定义如表 12 所示。

表 12 HDR 静态元数据属性维度与数据类型

HDR 静态元数据属性	维度	数据类型
display primaries_x_0	1	u(16)
display primaries_y_0	1	u(16)
display primaries_x_1	1	u(16)
display primaries_y_1	1	u(16)
display primaries_x_2	1	u(16)
display primaries_y_2	1	u(16)
white_point_x	1	u(16)
white_point_y	1	u(16)
max_display_mastering_luminance	1	u(16)
min_display_mastering_luminance	1	u(16)
max_content_light_level	1	u(16)
max_picture_average_light_level	1	u(16)

display primaries_x_0: 显示设备三基色中绿色的 X 坐标，该坐标在 CIE1931 XYZ 标准色度系统中定义。

display primaries_y_0: 显示设备三基色中绿色的 Y 坐标，该坐标在 CIE1931 XYZ 标准色度系统中定义。

display primaries_x_1: 显示设备三基色中蓝色的 X 坐标，该坐标在 CIE1931 XYZ 标准色度系统中定义。

display primaries_y_1: 显示设备三基色中蓝色的 Y 坐标，该坐标在 CIE1931 XYZ 标准色度系统中定义。

display primaries_x_2: 显示设备三基色中红色的 X 坐标，该坐标在 CIE1931 XYZ 标准色度系统中

定义。

`display primaries_y_2`: 显示设备三基色中红色的 Y 坐标, 该坐标在 CIE1931 XYZ 标准色度系统中定义。

`white_point_x`: 表示归一化后的图像主监视器标准白光的色度 x 坐标。该坐标在 CIE 1931 标准中定义。

`white_point_y`: 表示归一化后的图像主监视器标准白光的色度 y 坐标。该坐标在 CIE 1931 标准中定义。

`max_display_mastering_luminance`: 显示设备最大显示亮度。以 1cd/m^2 为单位, 范围从 1cd/m^2 到 65535cd/m^2 。

`min_display_mastering_luminance`: 显示设备最小显示亮度。表示显示设备的最小显示亮度。以 0.0001cd/m^2 为单位, 范围从 0.0001cd/m^2 到 6.5535cd/m^2 。

`max_content_light_level`: 表示显示内容的最大亮度。以 1cd/m^2 为单位, 范围从 1cd/m^2 到 65535cd/m^2 。

`max_picture_average_light_level`: 显示内容最大图像平均亮度。表示显示内容的最大图像平均亮度。以 1cd/m^2 为单位, 范围从 1cd/m^2 到 65535cd/m^2 。

7.3.3 HDR 动态元数据属性

HDR 动态元数据在 GB/T 46269.1-2025 中定义。

7.3.4 HDR 静态元数据扩展

`UWA_hdr_static_metadata` 扩展, 用于存储 HDR 静态元数据属性, 符合 ISO/IEC 12113:2022 规范。通过 gITF 的扩展字段保存, 如表 13 所示。

表 13 gITF 保存静态元数据的字段

定义	描述符
{	
extensions {	
UWA_hdr_static_metadata {	
data	
}	
}	
}	
UWA_hdr_static_metadata.data 为数组字段, 用于 HDR 静态元数据。该字段符合 ISO/IEC 12113:2022 规范。	

`UWA_hdr_static_metadata.data` 数组中可包含一组或多组 HDR 静态元数据, 每个列表成员对应一组 HDR 静态元数据, 如表 14 所示。

表 14 gITF 保存静态元数据的字段

定义	描述符
{	
<code>display primaries_x_0</code>	u(16)
<code>display primaries_y_0</code>	u(16)
<code>display primaries_x_1</code>	u(16)
<code>display primaries_y_1</code>	u(16)
<code>display primaries_x_2</code>	u(16)
<code>display primaries_y_2</code>	u(16)
<code>white_point_x</code>	u(16)
<code>white_point_y</code>	u(16)
<code>max_display_mastering_luminance</code>	u(16)
<code>min_display_mastering_luminance</code>	u(16)

max_content_light_level	u(16)
max_picture_average_light_level	u(16)
}	

7.3.5 HDR 动态元数据扩展

使用 gITF 字段的扩展字段 UWA_hdr_vivid_dynamic_metadata 扩展，用于存储 HDR Vivid 动态元数据属性，该字段符合 ISO/IEC 12113:2022 规范，如表 15 所示。

表 15 gITF 存储 HDR 动态元数据的字段

定义	描述符
{	
extensions {	
UWA_hdr_static_metadata {	
.....	
},	
UWA_hdr_vivid_dynamic_metadata {	
data	
}	
}	
}	
UWA_hdr_vivid_dynamic_metadata.data 为数组字段，用于 HDR Vivid 动态元数据。该字段符合 ISO/IEC 12113:2022 规范。	

UWA_hdr_vivid_dynamic_metadata.data 数组中可包含一组或多组 HDR Vivid 动态元数据，每个列表成员对应一组 HDR 动态元数据，如表 16 和表 17 所示。

表 16 gITF 存储 HDR 动态元数据的字段

定义	描述符
{	
bufferView	i(32)
staticMetadata	i(32)
camera	i(32)
rotation	array
translation	array
}	

表 17 UWA_hdr_vivid_dynamic_metadata 扩展定义

名称	类型	默认值	用法	描述
bufferView	integer	N/A	必选	其值指向 bufferViews 中的数据块，表示对 buffer 的特定数据段的引用，通过 offset（偏移量）和 byteLength（长度）标记其在 buffer 中的起始位置和范围
staticMetadata	integer	N/A	必选	索引值指向 HDR 静态元数据扩展数组中与之关联的静态元数据
camera	integer	N/A	可选	索引值指向 camera 字段中与之关联的相机内参
rotation	array	N/A	必选	与 HDR 动态元数据关联的相机外参中旋转分量的四元数

translation	array	N/A	必选	与 HDR 动态元数据关联的相机外参中平移分量的 x,y,z 分量
bufferView 所指向数据块为所保存二进制文件中 HDR Vivid 动态元数据段落，其定义满足 7.3.3 节内容。				

7.4 观看信息参数

7.4.1 相机初始参数

7.4.1.1 概述

相机参数包括相机的内参和相机的外参，用于在三维场景渲染过程中准确重建相机的位置、方向以及视野。

a) 相机内参：透视投影相机的宽高比、相机视场角等；正交投影相机的水平半宽和垂直半高等；

b) 相机外参：用户观看三维图像的相机位姿，包括相机的中心坐标，相机光轴的朝向。

相机内参的存储符合 ISO/IEC 12113:2022 中 5.12 的规定。

相机外参的存储符合 ISO/IEC 12113:2022 中 5.17 的规定。

7.4.1.2 观看相机标签扩展

glTF 的 nodes 字段可存储一个或多个相机参数，新增 UWA_user_camera_label 扩展用于指示每个相机节点的标签信息，包括：

a) 相机类型参数：标识对应相机参数是否为观看相机参数。其中，观看相机指该相机节点的信息可被用于设置为观看或交互时的初始视角，用于实时浏览和交互式呈现场景；

b) 推荐呈现设备：标识对应相机的推荐呈现设备。

UWA_user_camera_label 扩展位于 nodes.extensions 字段下，如表 18 所示。该扩展用于提供观看与呈现相关的提示性信息，可选择在加载与解析过程中使用或不使用该扩展，不影响资产的正确加载和基本显示。

表 18 UWA_user_camera_label 扩展的定义

定义	描述符
extensions {	
UWA_user_camera_label {	
default	boolean
devices	array
}	
}	

其中，default 和 devices 字段的定义如表 19 所示。

表 19 UWA_user_camera_label 扩展下的字段的定义

名称	类型	默认值	用法	描述
default	boolean	N/A	可选	其值标识相机节点是否为观看相机。取值如下： true: 相机节点是观看相机，其相机参数满足相机初始参数的要求 false: 相机节点不是观看相机，其相机参数不满足相机初始参数的要求
devices	array	N/A	可选	其值标识相机节点的一个或多个推荐观看相机。取值如下： “phone”: 手机类移动设备 “hmd”: 头戴式显示设备 “tablet”: 平板设备 “tv”: 电视或大屏显示设备 “pc”: 桌面或笔记本电脑

在 extensionsUsed 列表中声明 UWA_user_camera_label 扩展，如表 20 所示。

表 20 extensionsUsed 列表中声明 UWA_user_camera_label

定义	描述符
extensionsUsed{	
UWA_user_camera_label	
}	

7.4.2 相机轨迹参数

7.4.2.1 概述

相机轨迹参数提供统一、可复现的相机运动描述，以支持在不同播放环境中实现一致的动态观看体验。其中相机轨迹用于描述相机在时间上的变化，包括相机的位姿变化，以及相机的内参变化。

上述相机轨迹参数可包含对应重建相机的采集轨迹，和经处理、规划或计算得到的非采集轨迹。包括：

- a) 相机外参（位姿）：相机在运动过程中，每一时间点的相机中心坐标和相机朝向；
- b) 相机内参：相机在运动过程中，每一时间点的相机视场角。

7.4.2.2 相机轨迹内参扩展

相机轨迹内参的存储符合 ISO/IEC 12113:2022 中 5.5 的 animations 字段和 Khronos glTF 2.0 中 KHR_animation_pointer 扩展的定义，该扩展字段位于 animations.channels.target 字段下。

7.4.2.3 相机轨迹外参

相机轨迹外参的存储符合 ISO/IEC 12113:2022 中 5.5 的规定。

7.4.2.4 相机轨迹标签扩展

UWA_camera_trajectory_label 扩展，用于指示每组相机轨迹参数的标签信息，包括：

- a) 相机轨迹类型：标识对应相机轨迹的类型；
- b) 推荐呈现设备：标识对应相机轨迹的推荐呈现设备。

其中，相机轨迹类型：

- a) 采集轨迹：3DGS 训练过程原始的相机采集轨迹信息，作为 3DGS 训练的输入视角；
- b) 处理轨迹：经处理、规划或计算得到的非采集的相机轨迹。

UWA_camera_trajectory_label 扩展位于 animations.extensions 字段下，如表 21 所示。该扩展用于提供观看与呈现相关的提示性信息，应用在加载和解析过程中。可选择性使用或不使用该扩展，并不影响资产的正确加载与基本显示。

表 21 UWA_camera_trajectory_label 扩展的定义

定义	描述符
extensions {	
UWA_camera_trajectory_label {	
type	st(n)
devices	array
}	
}	

其中，type 和 devices 字段如表 22 所示。

表 22 UWA_camera_trajectory_label 扩展下的字段的定义

名称	类型	默认值	用法	描述
type	string	N/A	可选	其值为枚举值， captured: 表示采集轨迹参数。 processed: 表示处理轨迹参数，即非采集的相机轨迹。如， 基于采集轨迹计算或生成的轨迹参数

devices	array	N/A	可选	其值标识相机节点的一个或多个推荐观看相机。取值如下： “phone”：手机类移动设备 “hmd”：头戴式显示设备 “tablet”：平板设备 “tv”：电视或大屏显示设备 “pc”：桌面或笔记本电脑
---------	-------	-----	----	--

在 extensionsUsed 列表中声明 UWA_camera_trajectory_label 扩展，如表 23 所示。

表 23 extensionsUsed 列表中声明 UWA_camera_trajectory_label

定义	描述符
extensionsUsed{	
UWA_camera_trajectory_label	
}	

7.4.3 观看约束信息

7.4.3.1 概述

观看约束信息用于描述用户观看三维场景的观看视角范围参数的约束，观看视角范围参数包括观看角度和观看距离。

观看角度约束用于确保用户的观看角度不超出 3DGS 的重建范围。当用户观看角度超出重建范围时，可能因 3DGS 数量不足或数据缺失而导致重建质量下降，产生边缘毛刺、缺面等现象，影响视觉体验。

观看距离约束用于限定用户与场景中物体之间的最小与最大距离，以防止观看位置过近或与场景模型重叠，和避免因距离过远而导致模型显示过小或细节不可辨识。

本文件新增扩展 UWA_viewing_constraints 支持存储观看约束信息。

7.4.3.2 观看约束信息扩展

7.4.3.2.1 概述

UWA_viewing_constraints 扩展，位于 nodes 字段下的 extensions 中，用于存储观看约束信息，该字段符合 ISO/IEC 12113:2022 规范，如表 24 所示。其中，modes 为数组字段，包括多种三维资产观看形式，通过 modes.type 字段来指定具体的观看形式。modes.type 字符串，其取值包括"egocentricSixDof"，"allocentricSixDof"和"egocentricThreeDof"，分别对应“以自我为中心的六自由度观看形式”、“以对象为中心的六自由度观看形式”和“三自由度观看形式”。

表 24 glTF 存储观看约束信息的扩展字段 UWA_viewing_constraints

定义	描述符
extensions {	
UWA_viewing_constraints {	
modes	array
}	
}	

7.4.3.2.2 以自我为中心的六自由度观看形式

以自我为中心的六自由度观看形式下，观察者位于三维场景或模型内部，以第一人称或沉浸式视角向外观察环境的观看方式。该观看形式的特征包括：

- a) 观察者处于场景内部；
- b) 视觉体验以沉浸感和空间一致性为主。

以自我为中心的六自由度观看形式的典型交互控制模型为第一人称控制模型。该模型模拟第一人

称观察者的移动与视角旋转。

以自我为中心的六自由度观看形式对应的 UWA_viewing_constraints.modes 列表成员的定义如表 25 所示。

表 25 以自我为中心的六自由度观看形式对应的 modes 列表成员

定义	描述符
{	
type	st(n)
egocentricSixDof {	
cameraBoundingBox {	
center	array
size	array
}	
}	
}	

其中，type: 字符串，用于指定三维资产观看形式。以自我为中心的六自由度观看形式下，type 取值为 "egocentricSixDof"。该字段符合 ISO/IEC 12113:2022 中的定义。egocentricSixDof 结构体的定义如表 26 所示。

表 26 UWA_viewing_constraints 扩展的 egocentricSixDof 结构体的定义

名称	类型	默认值	用法	描述
cameraBoundingBox.center	array	N/A	可选	相机位置的包围盒中心再 X、Y、Z 轴的坐标。该包围盒限制了相机可以移动的范围
cameraBoundingBox.size	array	N/A	可选	相机位置的包围盒在 X、Y、Z 三个轴方向上的边长。该包围盒限制了相机可以移动的范围

7.4.3.2.3 以对象为中心的六自由度观看形式

以对象为中心的六自由度观看形式下，观察者位于三维模型或场景之外观察对象的观看方式。该观看形式的特征包括：

- a) 观察者处于模型外部；
- b) 视觉体验以整体感知与外观展示为主。

以对象为中心的六自由度观看形式下的典型交互控制模型为轨道球控制模型。该模型下，相机围绕三维对象或中心旋转及观看。

以对象为中心的六自由度观看形式对应的 UWA_viewing_constraints.modes 列表成员的定义如表 27 所示。

表 27 以对象为中心的六自由度观看形式对应的 modes 列表成员

定义	描述符
{	
type	st(n)
allocentricSixDof {	
azimuthRange	array
polarRange	array
distanceRange	array
target	array
targetBoundingBox {	
center	array
size	array

}	
}	
}	

其中, type: 字符串, 用于指定三维资产观看形式。以对象为中心的六自由度观看形式下, type 取值为 "allocentricSixDof"。该字段符合 ISO/IEC 12113:2022 中的定义。allocentricSixDof 结构体的定义见表 28。

表 28 UWA_viewing_constraints 扩展中, modes.allocentricSixDof 结构体的定义

名称	类型	默认值	用法	描述
azimuthRange	array	$[-\pi, \pi]$	可选	水平环绕的方位角范围限制, 即用户在水平方向上可旋转的角度范围。其单位为弧度制
polarRange	array	$[0, \pi]$	可选	垂直环绕的极角范围限制, 即用户在竖直方向上可旋转的角度范围。其单位为弧度制
distanceRange	array	$[0, \text{inf}]$	可选	相机距离交互中心的距离范围限制
target	array	$[0, 0, 0]$	可选	交互中心在 X、Y、Z 轴的坐标
targetBoundingBox.center	array	N/A	可选	交互中心的包围盒中心在 X、Y、Z 轴的坐标。该包围盒限制了交互中心可以移动的范围
targetBoundingBox.size	array	N/A	可选	交互中心的包围盒在 X、Y、Z 三个轴方向上的边长。该包围盒限制了交互中心可以移动的范围

注: inf 指代 infinity 无穷大

7.4.3.2.4 三自由度观看形式

三自由度观看形式下, 观察者位置固定, 仅允许进行旋转观察的观看方式。该观看形式的特征包括:

- 观察者位置固定, 不允许在三维场景内移动; 仅能进行视角旋转, 包括俯仰角、偏航角以及翻滚角;
- 视觉体验以方向感知为主, 无法获得位置移动带来的透视变化。

三自由度观看形式对应的 UWA_viewing_constraints.modes 列表成员的定义见表 29。

表 29 三自由度观看形式对应的 modes 列表成员

定义	描述符
{	
type	st(n)
egocentricThreeDof {	
pitchRange	array
yawRange	array
rollRange	array
}	
}	

其中, type: 字符串, 用于指定三维资产观看形式。三自由度观看形式下, type 取值为 "egocentricThreeDof"。该字段符合 ISO/IEC 12113:2022 中的定义。egocentricThreeDof 结构体的定义见表 30。

表 30 UWA_viewing_constraints 扩展中, modes.egocentricThreeDof 结构体的定义

名称	类型	默认值	用法	描述
pitchRange	array	$[-\pi, \pi]$	可选	俯仰角 (上下旋转) 的范围限制, 即用户在竖直方向上可旋转的角度范围。单位为弧度制
yawRange	array	$[-\pi, \pi]$	可选	偏航角 (左右旋转) 的范围限制, 即用户在水平方向上可旋转的角度范围。单位为弧度制
rollRange	array	$[-\pi, \pi]$	可选	翻滚角 (绕视线方向旋转) 的范围限制, 即用户绕相机

				前向轴的旋转范围。单位为弧度制
--	--	--	--	-----------------

在 extensionsUsed 列表中声明 UWA_viewing_constraints 扩展，如表 31 所示。

表 31 extensionsUsed 列表中声明 UWA_viewing_constraints

定义	描述符
extensionsUsed{	
UWA_viewing_constraints	
}	

7.5 音频

7.5.1 音频特性描述

本文件中的音频特性描述扩展包括两个部分，一是音频特性的整体描述，二是混响模型信息描述。

音频特性的整体描述应符合 ISO/IEC 23090-14: 2023 中 5.4.1 的规定。ISO/IEC 23090-14: 2023 中的音频扩展为 MPEG_audio_spatial，规定了声源特性信息、听者信息、混响参数信息的描述方式。

本文件规定的声源类型包括对象信号、高阶立体声场信号和立体声信号，其中对象信号、高阶立体声场信号 type 字段的取值见 ISO/IEC 23090-14: 2023 中表 14，立体声信号 type 字段的取值为“Stereo”。

混响模型信息的描述包含在混响模型扩展 UWA_audio_reverbModel 中，主要包含混响模型名称、混响模型增益、房间冲击响应参数等。在 glTF 结构中，UWA_audio_reverbModel 扩展应作为顶层扩展引入。

混响模型扩展 UWA_audio_reverbModel 的定义应符合表 32 的规定。

表 32 UWA_audio_reverbModel 扩展定义

名称	类型	默认值	用法	描述
reverbModels	array	N/A	必选	混响模型列表

表 32 中，混响模型列表 reverbModels 中每个列表成员 reverbModel 包含混响模型的相关参数信息，其定义应符合表 33 的规定。

表 33 reverbModel 扩展定义

名称	类型	默认值	用法	描述
name	string	N/A	必选	混响模型名称，名称可从混响模型注册列表中选择，或设定为“custom”，表示自定义混响模型
reverbGain	number	0	可选	混响模型增益参数，单位为 dB。默认值为 0dB
rirSampleRate	integer	48000	可选	房间冲击响应的采样率，单位为 Hz。默认值为 48kHz
rirNumChs	integer	N/A	可选	房间冲击响应的通道数
rirLength	integer	N/A	可选	房间冲击响应（RIR）长度（即采样点数）
rirAccessor	integer	N/A	可选	房间冲击响应对应的 accessor 索引，仅当 name 字段为“custom”时使用

7.5.2 音频媒体资产描述

本文件中音频媒体资产描述应符合 ISO/IEC 23090-14: 2023 的规定。ISO/IEC 23090-14: 2023 中的媒体资产描述扩展为 MPEG_media，见 ISO/IEC 23090-14: 2023 中 5.2.1，规定了媒体资产的播放控制信息（如播放起始点、自动播放控制等）、媒体格式信息（MIME 类型、编码器信息等）、媒体索引信息（如 URI、轨道索引等）等。

符合 ISO/IEC 14496-12 规定的三维图像格式，获取媒体资源的存储位置不需要解析 MPEG_media 扩展 alternatives 列表成员中定义的 uri 字段（URI 通常用于指向外部文件或线上资源）。

音频缓冲视图描述扩展 UWA_bufferview_audio 用于建立音频特性描述、音频媒体资产描述以及媒体资产存储的关联。

音频缓冲视图描述扩展 UWA_bufferview_audio 的定义应符合表 34 的规定。

表 34 UWA_bufferview_audio 扩展定义

名称	类型	默认值	用法	描述
isBitstream	boolean	N/A	必选	标记当前 bufferView 关联的 buffer 是否保存音频比特流。 若设置为 true, 则音频比特流存储在 buffer 中。 若设置为 false, 则音频比特流存储在 ISOBMFF 文件的轨道中, 需要从 MPEG_media 扩展中查找轨道索引信息
mediaId	integer	N/A	必选	媒体资源索引, 对应 MPEG_media.media 列表中的元素索引
alternativeId	integer	N/A	可选	备选流索引。 对应 MPEG_media.media.alternatives 列表中的元素索引。
trackId	integer	N/A	可选	轨道索引。 对应 MPEG_media.media.alternative.tracks 列表中的元素索引

UWA_bufferview_audio 扩展应包含在 glTF 的 bufferView 层级, 用来指向 MPEG_media 扩展中的媒体资源描述。

如果 isbitstream 字段为 true, 则音频码流保存在第一个 glTF buffer, 即 buffers[0]中, 后续写入 GLB 文件的 BIN chunk。bufferView 指向 buffers[0]中音频码流的起始位置。与 bufferView 关联 accessor 的 componentType 应设置为 5120 (BYTE, 字节类型), type 应设置为 SCALAR (标量类型), count 应设置为码流数据长度 (即字节数)。

如果 isbitstream 字段为 false, 则音频码流保存在 ISOBMFF 文件的轨道中, bufferView 指向一个新的 buffer, 用来表示音频解码播放过程中的数据缓存 buffer。与 bufferView 关联 accessor 的 componentType 应设置为 5126 (FLOAT, 浮点类型), type 应设置为 SCALAR (标量类型), count 应设置为解码缓存大小 (缓存帧数×声道数×帧长)。

将 MPEG_audio_spatial 扩展中包含的声源信息与媒体资源数据建立关联的过程步骤如下

a) 通过 MPEG_audio_spatial 扩展中 sources 列表成员的 accessors 字段, 找到声源对应的 accessor, 通过 accessor 与 bufferView 的关联关系找到对应的 bufferView;

b) 解析 bufferView 中包含的音频缓冲视图描述扩展 UWA_bufferview_audio;

若 isBitstream 字段为 true, 则音频码流保存在该 bufferView 对应的 buffer 中, 存储起始位置和长度可以分别由 bufferView 扩展中的 byteOffset 和 byteLength 字段获得;

若 isBitstream 字段为 false, 则音频码流保存在 ISOBMFF 文件的轨道中, 通过音频缓冲视图描述扩展 UWA_bufferview_audio 中的 mediaId、alternativeId、trackId 字段, 可以找到对应的 ISOBMFF 轨道, 即轨道索引为 MPEG_media.media.alternative.tracks 列表成员中的 track 字段;

c) 媒体资源描述, 如媒体类型信息 mimeType、编解码配置信息 Codecs 等, 可通过 UWA_bufferview_audio 扩展中的 mediaId、alternativeId、trackId 字段, 查询 MPEG_media 扩展中的信息获得。

7.6 渲染空间参数

7.6.1 渲染有效空间参数

渲染有效空间参数用于定义渲染空间中的有效区域。在该区域内的数据被视为有效数据, 参与渲染。位于该区域之外的数据被视为无效数据, 可被裁剪或忽略, 不参与渲染。

UWA_scene_clipped 扩展位于 scenes 字段下的 extensions 中, 如表 35 所示。

表 35 glTF 存储渲染有效空间参数的扩展字段 UWA_scene_clipped

定义	描述符
extensions {	
UWA_scene_clipped {	

shapes	array
}	
}	

shapes 为数组字段，用于存储渲染有效空间参数，以描述裁剪所采用的几何体形状。该字段符合 ISO/IEC 12113:2022 规范。

shapes 数组中可包含一个或多个几何裁剪体描述，每个列表成员对应一种几何裁剪体，通过 shapes.type 字段指定具体的几何裁剪体形状，并通过 shapes.clipMode 指示裁剪体所定义的空间中，哪一部分被视为有效区域。shapes.type 字符串，其取值包括"box"和"ellipsoid"，分别对应“长方体”和“椭球体”。shapes.clipMode 字符串，其取值包括"inside"和"outside"，分别对应“裁剪体内部的空间被定义为有效区域，位于裁剪体外部的内容可被裁剪或忽略”和“裁剪体外部的空间被定义为有效区域，位于裁剪体内部的内容可被裁剪或忽略”。应用可通过指定 shapes 数组中的索引，选择其中一个或多个裁剪体进行组合，以构建所需的渲染有效空间。

长方体裁剪体对应的 UWA_scene_clipped.shapes 列表成员的定义见表 36。

表 36 长方体裁剪体对应的 shapes 列表成员

定义	描述符
{	
type	st(n)
clipMode	st(n)
box {	
center	array
size	array
}	
}	

其中，type 字段为字符串，用于指示裁剪体的几何类型。长方体裁剪体，type 取值为 "box"。该字段符合 ISO/IEC 12113:2022 中的定义。box 结构体的定义见表 37。

表 37 UWA_scene_clipped.shapes 扩展下的 box 结构体

名称	类型	默认值	用法	描述
center	array	N/A	可选	长方体在 X、Y、Z 轴的中心坐标
size	array	N/A	可选	长方体在 X、Y、Z 轴的边长

椭球体裁剪体对应的 UWA_scene_clipped.shapes 列表成员的定义见表 38。

表 38 椭球体裁剪体对应的 shapes 列表成员

定义	描述符
{	
type	st(n)
clipMode	st(n)
ellipsoid {	
center	array
scale	array
rotation	array
}	
}	

其中，type 字段为字符串，用于指示裁剪体的几何类型。椭球裁剪体，type 取值为 "ellipsoid"。该字段符合 ISO/IEC 12113:2022 中的定义。ellipsoid 结构体的定义见表 39。

表 39 UWA_scene_clipped 扩展下的 ellipsoid 结构体

名称	类型	默认值	用法	描述
center	array	N/A	可选	椭球体在 X、Y、Z 轴的中心坐标
scale	array	N/A	可选	椭球体在局部正交坐标系下 X、Y、Z 轴方向上的半轴长度
rotation	array	(0, 0, 0, 1)	可选	椭球体相对其所属坐标系的旋转方向，采用单位四元数 (x, y, z, w) 的形式

7.6.2 渲染背景参数

渲染背景参数用于定义三维图元在未着色或未覆盖区域中的背景状态，为渲染系统提供一个明确、可解析的背景，以避免未定义区域出现不确定的视觉结果。

UWA_spatial_background 扩展位于 scenes 字段下的 extensions 中，如表 40 所示。其定义的背景模式包括：

- 纯色背景：以单一颜色填充整个渲染背景区域；
- 二维图像背景：将单张二维图像映射为渲染背景；
- 全景图像背景：以全景图像作为环境包围三维场景，并通过球面映射进行背景渲染；
- 基于哈希的背景：以哈希字符串生成背景图像。

表 40 glTF 存储渲染背景参数的扩展字段 UWA_spatial_background

定义	描述符
extensions {	
UWA_spatial_background {	
modes	st(n)
}	
}	

其中，modes 为数组字段，用于存储渲染背景参数，描述渲染背景的定义方式。该字段符合 ISO/IEC 12113:2022 规范。

modes 数组中应包含一个或多个渲染背景模式描述，每个列表成员对应一种渲染背景定义方式。应用可通过指定 modes 数组中的索引值，选择并切换当前生效的渲染背景模式。

纯色背景对应的 UWA_spatial_background.modes 列表成员的定义见表 41。

表 41 纯色背景对应的 UWA_spatial_background.modes 列表成员的定义

定义	描述符
{	
type	st(n)
color {	
value	array
colorSpace	st(n)
}	
}	

其中，type 字段为字符串，用于指定渲染三维图元的渲染背景模式。纯色背景模式下，type 取值为 "color"。该字段符合 ISO/IEC 12113:2022 中的定义。color 结构体的定义见表 42。

表 42 UWA_spatial_background 扩展下的 color 结构体

名称	类型	默认值	用法	描述
value	array	(0, 0, 0)	必选	纯色背景的 RGB 分量，每个分量为 float 类型，取值范围为 [0, 1]
colorSpace	string	"srgb_rec709"	可选	纯色背景所在色彩空间，即所在色域和使用何种转换函数。

		_display”		该字段的取值应为以下之一：“srgb_rec709_display”、“lin_rec709_display”、“BT.2020-ITU”、“BT.2020-linear”、“BT.2100-PQ”、“BT.2100-HLG”、“Display-P3”。其中，“srgb_rec709_display”和“lin_rec709_display”的定义应符合 Khronos Group 扩展 KHR_gaussian_splatting.colorSpace 字段中对应取值的规范；“BT.2020-ITU”、“BT.2020-linear”、“BT.2100-PQ”、“BT.2100-HLG”和“Display-P3”的定义应符合第 7.2.1.3 节的 colorSpace 的取值规范。
--	--	-----------	--	---

二维图像背景对应的 UWA_spatial_background.modes 列表成员的定义见表 43。

表 43 二维图像背景对应的 UWA_spatial_background.modes 列表成员的定义

定义		描述符
{		
type		st(n)
image {		
source		i(32)
rectangle		array
}		
}		

其中，type 字段为字符串，用于指定渲染三维图元的渲染背景模式。二维图像背景模式下，type 取值为"image"，该字段符合 ISO/IEC 12113:2022 中的定义。image 结构体的定义见表 44。

表 44 UWA_spatial_background 扩展下的 image 结构体

名称	类型	默认值	用法	描述
source	integer	N/A	必选	背景图像资源索引，其值指向 images 中对应的图像
rectangle	array	(0.0, 0.0, 1.0, 1.0)	可选	用于背景渲染的二维图像子区域，采用归一化坐标 (x, y, width, height) 表示，其中各分量取值范围为 [0.0, 1.0]： x: 子区域左下角在背景图像中的水平归一化位置； y: 子区域左下角在背景图像中的垂直归一化位置； width: 子区域宽度，占背景图像宽度的比例； height: 子区域高度，占背景图像高度的比例； 若未指定该字段，则默认使用整张图像作为背景纹理。

全景图像背景对应的 UWA_spatial_background.modes 列表成员的定义见表 45。

表 45 全景图像背景对应的 UWA_spatial_background.modes 列表成员的定义

定义		描述符
{		
type		st(n)
panorama {		
source		i(32)
center		fp(32)
radius		fp(32)
}		
}		

其中，type 字段为字符串，用于指定渲染三维图元的渲染背景模式。全景图像背景模式下，type 取值为"panorama"，该字段符合 ISO/IEC 12113:2022 中的定义。panorama 结构体的定义见表 46。

表 46 UWA_spatial_background 扩展下的 panorama 结构体

名称	类型	默认值	用法	描述
----	----	-----	----	----

source	integer	N/A	必选	背景图像资源索引，其值指向 images 中对应的图像
center	array	(0, 0, 0)	可选	全景背景图像的环绕中心坐标。
radius	array	N/A	必选	全景背景图像的环绕半径

基于哈希的背景对应的 UWA_spatial_background.modes 列表成员的定义见表 47。

表 47 基于哈希背景对应的 UWA_spatial_background.modes 列表成员的定义

定义	描述符
{	
type	st(n)
hash {	
value	st(n)
hashMode	st(n)
}	
}	

其中，type 字段为字符串，用于指定渲染三维图元的渲染背景模式。基于哈希的背景模式下，type 取值为"hash"，该字段符合 ISO/IEC 12113:2022 中的定义。hash 结构体的定义见表 48。

表 48 UWA_spatial_background 扩展下的 hash 结构体

名称	类型	默认值	用法	描述
value	string	N/A	必选	存储背景图像的哈希表示，以紧凑的字符串形式描述一张背景图像的视觉特征
hashMode	string	N/A	必选	指定哈希字符串所采用的哈希编码算法类型，包括： "blur": 采用 BlurHash 编码 "thumb": 采用 ThumbHash 编码

8 三维高斯泼溅压缩格式和解码

8.1 概述

本文件规定了 3DGS 压缩码流格式的语法、语义和解码过程，将 3DGS 压缩码流解码为 3DGS 信号，3DGS 包含的属性符合 7.2.1.2 的定义。

本标准支持的编解码方案包括：Efficient Gaussian Splatting Codec (EGSC)。

8.2 EGSC 压缩格式和解码

8.2.1 概述

EGSC 的编解码方案规定了使用 EGSC 编码方案生成的 3DGS 压缩码流格式的语法和语义，以及将压缩码流格式解码为 3DGS 信号的过程。

EGSC 压缩格式码流结构见 8.2.2，EGSC 压缩格式码流语法见 8.2.3，EGSC 压缩格式码流语义见 8.2.4，EGSC 压缩格式码流解码框架见 8.2.5，EGSC 压缩格式码流解码过程见 8.2.6。

8.2.2 EGSC 压缩格式码流结构

三维高斯泼溅 EGSC 码流结构如图 3 所示，包含多个单元 (unit)，每个单元包含 unit_size，unit header 以及 unit payload，unit_size 描述了单元大小，unit header 描述了单元的类型，unit payload 描述了单元的内容，单元语法见 8.2.3.1。

比特流解析顺序：码流为面向字节的连续比特流，解析时从码流的第一个字节的最高有效位 (MSB) 开始，依次读取至该字节的最低有效位 (LSB)，随后接续下一个字节的 MSB，以此类推完成全码流的解析。

当 unit type 为 0 时，单元为 3DGS 码流的元数据，包含通用的元数据内容和每个子码流元数据和重建信息。其中通用的元数据内容包含高斯球数目，球谐函数阶数，子码流数目；每个子码流元数据根

据子码流解码方式可包含熵解码所需信息，纹理解码和解包信息或者视频解码和解包信息；重建信息包含重建属性类型，逆量化，逆预测，逆变换所需的信息。

当 unit type 为 1 时，单元为 3DGS 码流的子码流。

当 unit type 为 2 时，单元为 3DGS 码流的用户自定义数据。

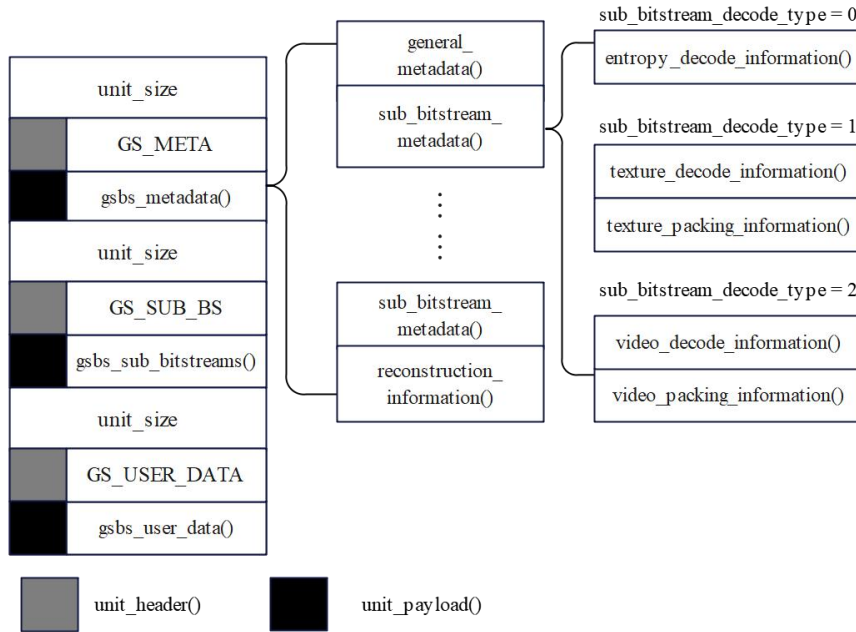


图 3 三维高斯泼溅压缩码流结构

8.2.3 语法

8.2.3.1 基础单元语法

码流基础单元的语法要求应符合表49的规定。

表 49 码流基础单元语法表

定义	描述符
<code>unit(numBytesInUnit) {</code>	
<code>unit_header()</code>	
<code>unit_payload(numBytesInUnit - 4)</code>	
<code>}</code>	

码流基础单元头的语法要求应符合表50的规定。

表 50 码流基础单元头语法表

定义	描述符
<code>unit_header() {</code>	
<code>unit_type</code>	<code>u(4)</code>
<code>reserved</code>	<code>u(28)</code>
<code>}</code>	

码流基础单元内容的语法要求应符合表51的规定。

表 51 码流基础单元内容语法表

定义	描述符
unit_payload() {	
if(unit_type== 0)	
gsbs_metadata()	
if(unit_type== 1)	
gsbs_sub_bitstreams()	
if(unit_type== 2)	
gsbs_user_data ()	
}	

8.2.3.2 元数据语法

8.2.3.2.1 通用元数据语法

码流元数据内容的语法要求应符合表52的规定。

表 52 码流元数据内容语法表

定义	描述符
gsbs_metadata (numBytes){	
profile_idc	u(8)
gs_points_num	u(32)
sub_bitstream_num	u(5)
SH_degree	u(3)
for(i=0; i < 3; i++){	
position_min_value[i]	fp(32)
position_max_value[i]	fp(32)
}	
gs_subset_num	u(8)
for(i=0;i<gs_subset_num;i++){	
sub_gs_points_num[i]	u(32)
}	
for(i=0; i < sub_bitstream_num; i++){	
sub_bitstream_size[i]	u(32)
gs_subset_id[i]	u(8)
sub_bitstream_decode_type[i]	u(8)
if(sub_bitstream_decode_type[i] == 0){	
entropy_decode_type[i]	u(8)
attribute_type[i]	u(8)
bitdepth[i]	u(8)
byteshift[i]	u(8)
}	
else if (sub_bitstream_decode_type[i] == 1){	
texture_decode_information[i]()	
texture_packing_information[i]()	
attribute_type[i]	u(8)
}	
else if (sub_bitstream_decode_type[i] == 2){	
video_decode_information[i]()	

video_packing_information[i]()	
}	
}	
for(i=0;i<gs_subset_num;i++){	
reconstruction_count[i]	u(8)
for(j=0;j < reconstruction_count[i];j++){	
reconstruction_information[i][j] ()	
}	
}	
byte_alignment()	
}	
general_metadata() 包含 gs_points_num , sub_bitstream_num , SH_degree , position_min_value , position_max_value , gs_subset_num ; sub_bitstream_metadata() 包含 sub_bitstream_size , gs_subset_id , sub_gs_points_num , sub_bitstream_decode_type和对应的解码和解包信息。	

8.2.3.2.2 纹理解码信息和解包信息语法

码流纹理解码信息的语法要求应符合表53的规定。

表 53 码流纹理解码信息语法表

定义	描述符
texture_decode_information () {	
entropy_decode_type	u(8)
packing_map_texture_codec_id	u(8)
}	

码流纹理解包信息的语法要求应符合表54的规定。

表 54 码流纹理解包信息语法表

定义	描述符
texture_packing_information() {	
packing_map_width	u(16)
packing_map_height	u(16)
region_width	u(16)
region_height	u(16)
packing_scanning_type	u(4)
if(packing_scanning_type==1){	
packing_scanning_block_size	u(8)
}	
packing_region_count_minus1	u(8)
for(i=0;i<=packing_region_count_minus1;i++){	
region_top_left_x[i]	u(16)
region_top_left_y[i]	u(16)
}	
texture_channel_num	u(8)
byteshift	u(8)
byte_alignment()	

}	
---	--

8.2.3.2.3 视频解码信息和解包信息语法

码流视频解码信息的语法要求应符合表55的规定。

表 55 码流视频解码信息语法表

定义	描述符
video_decode_information(){	
packing_map_video_codec_id	u(8)
}	

码流视频解包信息的语法要求应符合表56的规定。

表 56 码流视频解包信息语法表

定义	描述符
video_packing_information(){	
packing_map_width	u(16)
packing_map_height	u(16)
region_width	u(16)
region_height	u(16)
packing_map_frame_num_minus1	u(16)
packing_scanning_type	u(4)
if(packing_scanning_type==1){	
packing_scanning_block_size	u(8)
}	
packing_region_count_minus1	u(8)
for(i=0;i<= packing_region_count_minus1;i++){	
region_frame_index[i]	u(8)
region_top_left_x[i]	u(16)
region_top_left_y[i]	u(16)
attribute_type[i]	u(8)
attribute_channel_offset[i]	u(8)
attribute_channel_num[i]	u(8)
byteshift[i]	u(8)
}	
byte_alignment()	
}	

8.2.3.2.4 表征重建信息语法

码流表征重建信息的语法要求应符合表57的规定。

表 57 码流表征重建信息语法表

定义	描述符
reconstruction_information(){	
attribute_type	u(8)

component	u(8)
quantization_type	u(4)
quantization_bitdepth	u(8)
prediction_type	u(4)
if(prediction_type == 1){	
byteshift	u(4)
blocksize	u(16)
}	
if(prediction_type > 2){	
prediction_reserved()	
}	
transformation_type	u(4)
if (transformation_type == 3){	
transformation_basis_num	u(32)
transformation_basis_dim	u(32)
for(i=0; i < transformation_basis_num; i++){	
transformation_basis_vector	fp(32)×m
}	
for(i=0; i<transformation_basis_dim;i++){	
component_means[i]	fp(32)
component_std[i]	fp(32)
}	
}	
if(transformation_type > 3){	
transformation_reserved()	
}	
if (quantization_type == 2){	
quantization_min_value	fp(32)×n
quantizaion_max_value	fp(32)×n
}	
if(quantization_type == 3){	
patch_num	u(32)
for(i=0; i < patch_num; i++){	
patch_size[i]	u(32)
patch_quantization_min_value[i]	fp(32)×n
patch_quantization_max_value[i]	fp(32)×n
}	
}	
byte_alignment()	
}	
注: m为transformation_basis_dim, n为component	

8.2.3.3 子码流语法

子码流内容的语法要求应符合表58的规定。

表 58 子码流语法表

定义	描述符
gsbs_sub_bitstreams (numBytes){	
for(i=0; i < sub_bitstream_num; i++){	
gsbs_sub_bitstream_data[i](sub_bitstream_size [i])	
}	
}	

8.2.4 语义

8.2.4.1 基础单元语义

unit_header()为3DGS压缩码流单元头，包含单元类型标识；
 unit_payload()为3DGS压缩码流单元内容，根据单元类型存储不同数据；
 unit_type为3DGS压缩码流单元类型，取值见表59。

表 59 3DGS 压缩码流单元类型表

unit_type	定义	描述
0	GS_META	对应3DGS元数据单元，载荷为3DGS元数据，包含高斯球数目，码流数目，球谐阶数等基础字段和每个子码流解码所需信息
1	GS_SUB_BS	对应3DGS子码流单元，载荷为3DGS子码流。每个子码流为3DGS一个或多个属性数据编码后的码流
2	GS_USER_DATA	对应用户自定义单元，载荷为用户自定义数据，用户可对gs_user_data()进行自定义的处理
3-15	GS_RSVD	保留

gsbs_metadata()为3DGS压缩码流元数据单元；
 gsbs_sub_bitstreams ()为3DGS压缩子码流单元；
 gsbs_user_data ()为用户自定义数据单元；
 numBytesInUnit为单元大小（以字节为单位），其值等于unit_size。

8.2.4.2 元数据语义

8.2.4.2.1 通用元数据语义

profile_idc, 8bit, 为档次标志，规定码流符合的档次，见附录A；
 gs_points_num, 32bit, 3DGS高斯球的总数目；
 sub_bitstream_num, 5bit, 子码流数目；
 SH_degree, 3 bit, 3DGS球谐函数的最高阶数；
 position_min_value, 32bit, 3DGS位置属性的最小值，包含x、y、z三个分量；
 position_max_value, 32bit, 3DGS位置属性的最大值，包含x、y、z三个分量；
 gs_subset_num, 8bit, 3DGS子集合的数目，每个子集合由3DGS模型的一部分数目高斯球构成；
 sub_gs_points_num, 32bit, 3DGS子集合高斯球数目，取值小于等于gs_points_num；所有子集合的高斯球数目之和为gs_points_num；
 sub_bitstream_size, 32bit, 3DGS子码流的大小；
 gs_subset_id, 8bit, 子码流对应的3DGS子集合索引。每个3DGS子码流的索引指示子码流对应的3DGS子集合，具有相同索引的子码流在同一3DGS子集合内；
 sub_bitstream_decode_type, 8bit, 3DGS每个子码流的解码方式；‘0’：对子码流进行熵解码，‘1’：对子码流进行2D纹理解码，‘2’：对子码流进行2D视频解码，‘3-255’，保留；
 entropy_decode_type, 8bit, 熵编码的方式，‘0’：无熵编码，‘1’：zstd熵编码，‘2’：zlib熵编码，‘3’～‘255’：保留；
 attribute_type 8 bit, 属性类型索引，取值见表60；

表 60 属性索引表

属性类型	标识符	说明
0	POSITION	定义高斯分布在3D空间中的中心点坐标 (x,y,z)，决定了该高斯在场景中的位置。
1	OPACITY	控制高斯的透明程度 (范围0到1)，0表示完全透明，1表示完全不透明；在混合多个高斯时用于决定其贡献权重 (alpha blending)
2	SCALE	定义高斯分布在三个轴上的缩放系数，控制高斯椭球形状的大小
3	ROTATION	用四元数 (quaternion) 表示高斯的方向，控制高斯椭球的朝向
4	SPHERICAL_HARMONICS_DEGREE_0_COEFFICIENT_0	SPHERICAL_HARMONICS_DEGREE_ℓ_COEFFICIENT_n 存球谐系数ℓ阶第n个分量的系数，能记录高斯在不同光照方向和视角下的颜色变化
5	SPHERICAL_HARMONICS_DEGREE_1_COEFFICIENT_0	
6	SPHERICAL_HARMONICS_DEGREE_1_COEFFICIENT_1	
7	SPHERICAL_HARMONICS_DEGREE_1_COEFFICIENT_2	
8	SPHERICAL_HARMONICS_DEGREE_2_COEFFICIENT_0	
9	SPHERICAL_HARMONICS_DEGREE_2_COEFFICIENT_1	
10	SPHERICAL_HARMONICS_DEGREE_2_COEFFICIENT_2	
11	SPHERICAL_HARMONICS_DEGREE_2_COEFFICIENT_3	
12	SPHERICAL_HARMONICS_DEGREE_2_COEFFICIENT_4	
13	SPHERICAL_HARMONICS_DEGREE_3_COEFFICIENT_0	
14	SPHERICAL_HARMONICS_DEGREE_3_COEFFICIENT_1	
15	SPHERICAL_HARMONICS_DEGREE_3_COEFFICIENT_2	
16	SPHERICAL_HARMONICS_DEGREE_3_COEFFICIENT_3	
17	SPHERICAL_HARMONICS_DEGREE_3_COEFFICIENT_4	
18	SPHERICAL_HARMONICS_DEGREE_3_COEFFICIENT_5	
19	SPHERICAL_HARMONICS_DEGREE_3_COEFFICIENT_6	
20	SPHERICAL_HARMONICS_DEGREE_1_AND_HIGHER	包含阶数高于 0 阶的所有球谐系数。通道顺序为 SPHERICAL_HARMONICS_DEGREE_1_COEFFICIENT_0 (xyz), SPHERICAL_HARMONICS_DEGREE_1_COEFFICIENT_1 (xyz) ... SPHERICAL_HARMONICS_DEGREE_3_COEFF

		ICIENT_6 (xyz)。
21	Importance	表示高斯单元的重要程度
22-255	保留	/

bitdepth, 8bit, 属性量化值的位深;

byteshift, 8bit, 属性量化值的向右偏移位数, 无偏移时为 0, 有偏移时解码需要向左偏移对应位数进行恢复;

reconstruction_count, 8bit, 保存3DGS重建的数目; 用于对3DGS每个子集合的每个属性进行重建;

reconstruction_information(), 重建所需信息, 见8.2.4.2.4;

texture_decode_information(), 2D纹理解码所需信息, 见8.2.4.2.2;

texture_packing_information(), 2D纹理打包所需信息, 区域数据 (region) 为整张纹理packing map 中的一个矩形区域, 对应3DGS的一个属性的纹理压缩数据或一个属性中一个或多个通道的纹理压缩数据, 见8.2.4.2.2;

video_decode_information(), 2D视频解码所需信息, 见8.2.4.2.3;

video_packing_information(), 2D视频打包所需信息, 区域数据 (region) 为整张图像packing map 中的一个矩形区域, 对应3DGS的一个属性的图像压缩数据或一个属性中一个或多个通道的图像压缩数据, 见8.2.4.2.3;

byte_alignment()函数的定义, 如当前位置在字节的边界, 则byte_alignment()函数返回‘1’, 即位流中的下一位是一个字节的起始位, 否则返回‘0’。

8.2.4.2.2 纹理解码信息和解包信息语义

entropy_decode_type, 8bit, 熵编码的方式, ‘0’: 无熵编码, ‘1’: zstd熵编码, ‘2’: zlib熵编码, ‘3’ ~ ‘255’: 保留;

packing_map_texture_codec_id, 8bit, packing map 使用的纹理解码器类型, 取值见表61;

表 61 纹理解码器类型表

packing_map_texture_codec_id	对应解码器	对应解码器文档
0	未使用纹理解码器	
1	ASTC 解码器	Khronos Adaptive Scalable Texture Compression (ASTC) Specification
2	UASTC LDR 4x4 解码器	UASTC LDR 4x4 Texture Specification
3	ETC1S 解码器	ETC1S Texture Video Specification
4-255	保留	

packing_map_width, 16bit, packing map 的宽度 (以像素为单位);

packing_map_height, 16bit, packing map 的高度 (以像素为单位);

region_width, 16bit, region 的宽度 (以像素为单位);

region_height, 16bit, region 的高度 (以像素为单位);

packing_scanning_type, 4bit, region 的扫描方式;

packing_scanning_block_size, 8bit, 分块扫描时的块大小;

packing_region_count_minus1, 8bit, 加一表示该子码流包含的 packing map 的区域数量;

region_top_left_x, 16bit, region 左上角在 packing map 上的横坐标;

region_top_left_y, 16bit, region 左上角在 packing map 上的纵坐标;

texture_channel_num, 8bit, 纹理包含的通道数量;

byteshift, 8bit, 纹理编码属性量化值的向右偏移位数, 无偏移时为 0, 有偏移时解码需要向左偏移对应位数进行恢复。

8.2.4.2.3 视频解码信息和解包信息语义

packing_map_video_codec_id, 8bit, packing map 使用的视频解码器类型, 取值见表62。

表 62 视频解码器类型表

packing_map_video_codec_id	对应解码器	视频解码器标准	
		Name	Profile
0	未使用视频解码器	/	/
1	AVC Progressive High	ISO/IEC 14496-10	Progressive High as specified in ISO/IEC 14496-10
2	HEVC Main	ISO/IEC 23008-2	Main as specified in ISO/IEC 23008-2
3	HEVC Main 10	ISO/IEC 23008-2	Main 10 as specified in ISO/IEC 23008-2
4	VVC Main 10	ISO/IEC 23090-3	VVC Main 10 as specified in ISO/IEC 23090-3
5-255	保留	/	/

packing_map_width, 16bit, packing map 的宽度 (以像素为单位);

packing_map_height, 16bit, packing map 的高度 (以像素为单位);

region_width, 16bit, region 的宽度 (以像素为单位);

region_height, 16bit, region 的高度 (以像素为单位);

packing_map_frame_num_minus1, 16bit, 加一表示 packing map 的帧数;

packing_scanning_type, 4bit, region 的扫描方式;

packing_scanning_block_size, 8bit, 分块扫描时的块大小;

packing_region_count_minus1, 8bit, 加一表示 packing map 的区域数量;

region_frame_idx, 16bit, region 所在的 packing map 的帧索引;

region_top_left_x, 16bit, region 左上角在 packing map 上的横坐标;

region_top_left_y, 16bit, region 左上角在 packing map 上的纵坐标;

attribute_type, 8 bit, region 对应的属性类型索引, 取值见表 60;

attribute_channel_num, 8 bit, region 数据的有效通道数;

attribute_channel_offset, 8 bit, region 数据对应所属属性的通道数的偏移; region 数据对应属性的通道范围为[attribute_channel_offset, attribute_channel_offset + attribute_channel_num - 1];

byteshift, 8bit, 视频 packing_map 中每一 region 所编属性量化值的向右偏移位数, 无偏移时为 0, 有偏移时解码需要向左偏移对应位数进行恢复。

8.2.4.2.4 表征重建信息语义

attribute_type, 8 bit, 属性数据的类型标识, 其取值见表60;

component, 8bit, 属性数据的通道数目;

quantization_type, 4bit, 属性数据的量化类型, '0': 不量化, '1': 均匀标量量化, '2': 基于最小最大值的均匀量化, '3': 分组均匀标量量化, '4' 高斯量化; '5' 自适应量化; '6-15' 保留;

quantization_bitdepth, 8bit, 属性数据的量化位深;

prediction_type, 4bit, 压缩数据的预测方案, '0': 不预测, '1': 分块差分预测, '2-15' 保留;

byteshift, 4bit, 属性预测时量化值的向右偏移位数, 无偏移时为 0, 有偏移时解码需要向左偏移对应位数进行恢复;

blocksize, 4bit, 属性预测时的分块大小, 为0时表示未进行分块, 不为0时其取值对应分块大小, 支持分块预测;

transformation_type, 4bit, 属性数据的变换方案, '0': 不变换, '1': 欧拉角转四元数的变换; '2': 属性基于重要性变换; '3': 属性PCA变换, '4-15' 保留;

transformation_basis_num, 32bit, 属性数据的变换基数目;

transformation_basis_dim, 32bit, 属性数据的变换基维度;

transformation_basis_vector, 32bit, 属性数据的变换基向量;

quantization_min_value, 32bit, 量化最小值;

quantization_max_value, 32bit, 量化最大值;

patch_num, 32bit, 分组量化时的块数目;

patch_size, 32bit, 分组量化时的块大小;

patch_quantization_min_value, 32bit, 每个块的量化最小值;

patch_quantization_max_value, 32bit, 每个块的量化最大值。

8.2.4.3 子码流语义

gsbs_sub_bitstream_data 为 3DGS 子码流压缩数据, 包含视频、纹理或熵编码码流, 其码流结构、语义以及解码过程由 sub_bitstream_decode_type 指定的编解码标准定义, 可用符合对应标准的解码器进行解码。每个子码流数据为 3DGS 一个或多个属性信号的编码后的码流; 其中当子码流解码方式为视频解码或纹理解码时, 子码流数据包含每个区域编码后的数据, 每个区域为依据视频打包所需信息或纹理打包所需信息对子码流进行划分得到。

8.2.5 EGSC 压缩格式解码框架

EGSC 解码流程见图 4。首先解析 3DGS 压缩码流, 获取元数据和每个子码流数据, 每个子码流为 3DGS 一个或多个属性信号的编码后的码流; 然后对每个子码流, 依据元数据中子码流的解码方式进行对应的解码过程, 得到每个子码流的解码结果, 解码方式包含熵解码、纹理解码和解包、视频解码和解包三种方式。最后对子码流的解码结果进行表征重建, 得到解码后的 3DGS 信号, 3DGS 包含的属性符合 7.2.1.2 的定义, 表征重建包括属性重组、逆预测、逆量化和逆变换。3DGS 压缩格式在传输和分享中可作为独立格式使用。

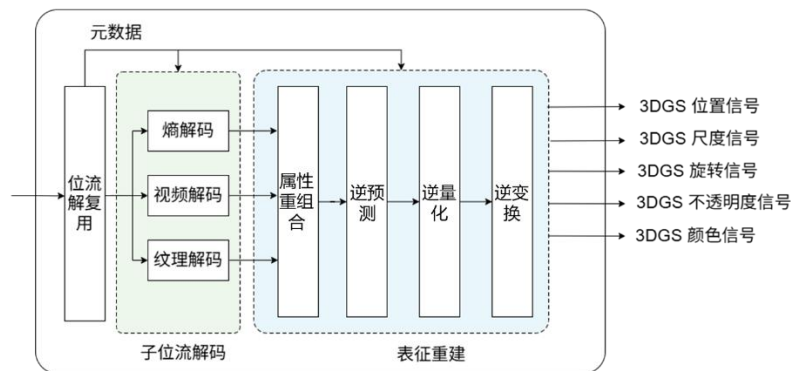


图 4 三维高斯泼溅压缩码流解码框架

解码过程如下:

a) 码流解复用

从 3DGS 码流中解析出后续解码所需的元数据以及子码流见 8.2.6.1。

- 1) 输入: 码流
- 2) 输出: 子码流以及元数据

b) 子码流解码

对每个子码流, 从元数据中确定子码流解码方式, 依据解码方式进行对应的子码流解码见 8.2.6.2。

- 1) 输入: 子码流和元数据
- 2) 输出: 子码流解码结果

c) 表征重建

从元数据中获取重建相关信息, 对 3DGS 解码结果进行重建, 并通过数据重组得到属于同一高斯单元的属性见 8.2.6.3。

- 1) 输入: 子码流解码结果, 元数据
- 2) 输出: 3DGS 属性的解码重建结果

8.2.6 解码过程

8.2.6.1 码流解复用过程

码流解复用是从 3DGS 码流单元中提取元数据与子码流，输入输出和流程如下：

- a) 输入：一个完整的 3DGS 码流，码流单元符合 8.2.3.1 定义；
- b) 输出：sub_bitstream_num 个子码流 gsbs_sub_bitstream_data 和元数据 gsbs_metadata，元数据结构符合 8.2.3.2 的定义，子码流结构符合 8.2.3.3 的定义。

输入的 3DGS 码流由一系列单元（unit）组成。每个单元包含一个单元头（unit header）和对应的单元数据（unit payload）。单元头中包含字段是 unit_type，用于标识单元的类型。

解码器首先从输入的码流中解析出单元，并根据单元头类型 unit_type 将其解复用为元数据或子码流。

——当 unit_type 为 0 时，对 payload 执行元数据解码，按照 8.2.3.2 元数据语法解析码流中的元数据信息，将解析后的所有元数据信息输出到解码器的缓冲区，供后续解码阶段使用。

——当 unit_type 为 1 时，对 payload 执行子码流解码，按照 8.2.3.3 子码流语法提取码流中的子码流数据，输出到解码器相应的子码流缓冲区中，在后续的解码阶段被进一步解码。

——当 unit_type 为 2 时，直接获取用户自定义数据，用户可对 gs_user_data() 进行自定义的处理。

8.2.6.2 子码流解码过程

8.2.6.2.1 通则

子码流解码基于 8.2.6.1 解码得到的元数据，确定子码流的解码方式，并对每个子码流执行具体解码操作，得到子码流的解码结果，每个子码流对应 3DGS 一个子集合下一个或多个属性信号的编码后的码流。

a) 输入：待解码的子码流 gsbs_sub_bitstream_data 和元数据 gsbs_metadata；

b) 输出：子码流解码结果 sub_bitstream_decoded_data。

首先，解码器处理第 i 个子码流，i 的范围为 0..sub_bitstream_num-1，从元数据中 gsbs_metadata 解析第 i 个子码流对应的 sub_bitstream_decode_type[i] 字段。

——当 sub_bitstream_decode_type[i] 为 0，解码器选择子码流直接熵解码过程，解码步骤遵循 8.2.6.2.2 的定义。

——当 sub_bitstream_decode_type[i] 为 1，解码器选择子码流纹理解码和解包过程，解码步骤遵循 8.2.6.2.3 的定义。

——当 sub_bitstream_decode_type[i] 为 2，解码器选择子码流视频解码和解包过程，解码步骤遵循 8.2.6.2.4 的定义。

8.2.6.2.2 子码流熵解码过程

对子码流进行熵解码的步骤如下：

a) 输入：待解码的子码流 gsbs_sub_bitstream_data 和元数据中的 entropy_decode_type；

b) 输出：子码流解码结果 sub_bitstream_decoded_data。

首先，对选定的第 i 个为直接熵解码的子码流，从元数据中解析第 i 个子码流对应的 entropy_decode_type 字段。

——当 entropy_decode_type 等于 0，进行如下步骤：

sub_bitstream_decoded_data = gsbs_sub_bitstream_data

即跳过熵解码步骤，子码流中的数据即为解码后的数据，用于后续的代表重建过程。

——当 entropy_decode_type 等于 1，进行如下步骤：

sub_bitstream_decoded_data = zstd_decoder(gsbs_sub_bitstream_data)

即调用 zstd 解码器，对子码流中的数据进行熵解码，获得解码后的数据。

——当 entropy_decode_type 等于 2，进行如下步骤：

sub_bitstream_decoded_data = zlib_decoder(gsbs_sub_bitstream_data)

即调用 zlib 解码器，对子码流中的数据进行熵解码，获得解码后的数据。

8.2.6.2.3 子码流纹理解码和解包过程

对子码流进行纹理解码和解包的输入输出如下：

a) 输入：待解码子码流 `gsbs_sub_bitstream_data` 和元数据中 `texture_decode_information` 和 `texture_packing_information`;

b) 输出：子码流解码结果 `sub_bitstream_decoded_data`。

解码器可在渲染前完成纹理解码或者在渲染时进行纹理解码。当解码在渲染前完成纹理解码时，如图 5 所示，解码步骤如下：

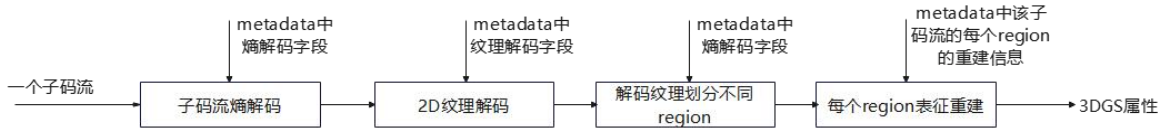


图 5 在渲染前纹理解码框架

a) 对选定为纹理解码和解包的子码流，从元数据中解析 `texture_decode_information` 字段。按照 `texture_decode_information` 中的 `entropy_decode_type` 进行熵解码，得到 `entropy_decoded_sub_bitstream`，熵解码的方式同 8.2.6.2.2 中的解码方式：

b) 从元数据中解析 `packing_map_texture_codec_id` 字段；解码器根据 `packing_map_texture_codec_id` 获取对应的纹理解码器实例，将熵解码后的码流送入纹理解码器进行解码，纹理解码器输出解码后的数据：

1) 当 `packing_map_texture_codec_id` 等于 0，进行如下步骤：

`texture_decoded_sub_bitstream = entropy_decoded_sub_bitstream`

即跳过纹理解码步骤，子码流熵解码后的数据即为解码后的数据，用于后续的代表重建过程。

2) 当 `packing_map_texture_codec_id` 等于 1，进行如下步骤：

`texture_decoded_sub_bitstream = ASTC_decoder(entropy_decoded_sub_bitstream)`

即调用 ASTC 解码器，对子码流中的数据进行纹理解码，获得解码后的数据。

3) 当 `packing_map_texture_codec_id` 等于 2，进行如下步骤：

`texture_decoded_sub_bitstream = UASTC_decoder(entropy_decoded_sub_bitstream)`

即调用 UASTC LDR 4x4 解码器，对子码流中的数据进行纹理解码，获得解码后的数据。

4) 当 `packing_map_texture_codec_id` 等于 3，进行如下步骤：

`texture_decoded_sub_bitstream = ETC1S_decoder(entropy_decoded_sub_bitstream)`

即调用 ETC1S 解码器，对子码流中的数据进行纹理解码，获得解码后的数据。

c) 数据解包，依据元数据中的 `packing_information` 从解码后的数据 `texture_decoded_sub_bitstream` 中提取每个区域的数据，进行如下步骤：

1) 进行区域元数据解析：从元数据中读取纹理图片的长与宽 (`packing_map_width`, `packing_map_height`)，每个区域的长与宽 (`region_width`, `region_height`)，从每个 `region` 中提取数据的扫描顺序 (`packing_scanning_type`) 以及 `region` 的个数 (`packing_region_count_minus1`)。

2) 从每个 `region` 中解码出每个 3DGS 单元的解码结果，以下为第 `h` 个子码流第 `n` 个 `region` 的解码步骤，`h` 的范围为 `0..sub_bitstream_num-1`，`n` 的范围为 `0..packing_region_count_minus1`：

计算每个 3DGS 单元的属性数据的纹理坐标，其中 `i` 为第 `i` 个 3DGS 单元的属性数据，范围为 `0..region_width×region_height-1`，`region_u[i]` 和 `region_v[i]` 分别表示 `region` 中第 `i` 个 3DGS 单元的属性数据在纹理上的横坐标和纵坐标，`region_u` 的范围为 `0..region_width-1`，`region_v` 的范围为 `0..region_height-1`。

——若 `packing_scanning_type` 为 0 时进行逐行提取：

```
for(i=0; i< region_width×region_height; i++){
    region_u[i] = i % region_width + region_top_left_x[n];
    region_v[i] = i / region_width + region_top_left_y[n];
}
```

——若 `packing_scanning_type` 为 1 时进行分块逐行提取，其中 `packing_scanning_block_size` 为块大小：

`block_num_x = region_width / packing_scanning_block_size;`

```
for(i=0; i< region_width×region_height; i++){
    block_idx = i / (packing_scanning_block_size × packing_scanning_block_size);
    pixel_idx = i % (packing_scanning_block_size × packing_scanning_block_size);
```

```

    block_u = block_idx % block_num_x;
    block_v = block_idx / block_num_x;
    region_u[i] = block_u × packing_scanning_block_size + pixel_idx % packing_scanning_block_size;
    region_v[i] = block_v × packing_scanning_block_size + pixel_idx / packing_scanning_block_size;
    region_u[i] = region_u[i] + region_top_left_x[n];
    region_v[i] = region_v[i] + region_top_left_y[n];
}

```

——若 packing_scanning_type 为 2 时进行按照 2D 莫顿顺序提取，其中 2D 莫顿扫描顺序的横坐标和纵坐标数组为 morton_scanning_u, morton_scanning_v:

```

for(i=0; i< region_width×region_height; i++){
    region_u[i] = morton_scanning_u[i] + region_top_left_x[n];
    region_v[i] = morton_scanning_v[i] + region_top_left_y[n];
}

```

依据纹理坐标 region_u 和 region_v 将 region 中数据提取到子码流解码结果 sub_bitstream_decoded_data，其中 decoded_data [i][j] 为 region 中第 i 个单元第 j 通道的解码结果，texture_decoded_sub_bitstream [u][v][d] 为纹理坐标为 u,v 通道为 d 的纹理数据，u 的范围为 0..region_width-1, v 的范围为 0..region_height-1, d 的范围为 0.. texture_channel_num-1。得到每个 region 的子码流解码结果数据用于 8.2.6.3 的区域重建。

提取过程如下：

```

for(i=0; i< region_width×region_height; i++){
    for(j=0; j< texture_channel_num; j++){
        sub_bitstream_decoded_data [i][j] = texture_decoded_sub_bitstream[region_u[i]][ region_v[i]][j]
        × (2 ^byteshift);
    }
}

```

当解码器渲染时进行纹理解码时，如图 6 所示，解码步骤如下：

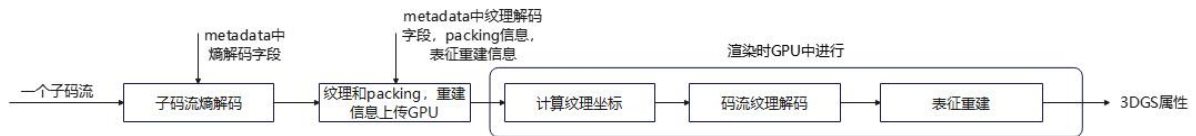


图 6 渲染时纹理解码框架

a) 对选定为纹理解码和解包的子码流，从元数据中解析 texture_decode_information 字段。按照 texture_decode_information 中 entropy_decode_type 进行熵解码，得到 entropy_decoded_sub_bitstream，熵解码的方式同 8.2.6.2.2 中的解码方式；

b) 从元数据中解析 packing_map_texture_codec_id， texture_packing_information 和 reconstruction_information，可上传 GPU 并使用 GPU 的解码能力。解码器根据 packing_map_texture_codec_id 获取对应的纹理解码器实例；

c) 在渲染时，对渲染第 h 个子码流第 i 个 3DGS 单元的属性数据，计算该 3DGS 单元在第 n 个 region 的属性数据在纹理上的横坐标和纵坐标 region_u[i] 和 region_v[i]，其中 h 的范围为 0..sub_bitstream_num-1, i 为第 i 个 3DGS 单元的属性数据，范围为 0.. region_width×region_height-1, n 的范围为 0.. packing_region_count_minus1, region_u 的范围为 0..region_width-1, region_v 的范围为 0..region_height-1:

——若 packing_scanning_type 为 0 进行逐行提取:

```

region_u[i] = i % region_width + region_top_left_x[n];
region_v[i] = i / region_width + region_top_left_y[n];

```

——若 packing_scanning_type 为 1 进行分块逐行提取，packing_scanning_block_size 为块大小:

```

block_num_x = region_width / packing_scanning_block_size;
block_idx = i / (packing_scanning_block_size × packing_scanning_block_size);
pixel_idx = i % (packing_scanning_block_size × packing_scanning_block_size);
block_u = block_idx % block_num_x;
block_v = block_idx / block_num_x;
region_u[i] = block_u × packing_scanning_block_size + pixel_idx % packing_scanning_block_size;

```

```

region_v[i] = block_v × packing_scanning_block_size + pixel_idx / packing_scanning_block_size;
region_u[i] = region_u[i] + region_top_left_x[n];
region_v[i] = region_v[i] + region_top_left_y[n];

```

——若 packing_scanning_type 为 2 进行按照 2D 莫顿顺序提取，设 2D 莫顿扫描顺序的横坐标和纵坐标数组为 morton_scanning_u, morton_scanning_v:

```

region_u[i] = morton_scanning_u[i] + region_top_left_x[n];
region_v[i] = morton_scanning_v[i] + region_top_left_y[n];

```

d) 依据纹理坐标 region_u 和 region_v 索引纹理，调用 GPU 硬件解码纹理对应区块，而后获取纹理解码结果，其中 sub_bitstream_decoded_data [i][j] 为 region 中第 i 个单元第 j 通道的解码结果，texture_data 为压缩纹理数据，由 entropy_decoded_sub_bitstream 的得到，texturedecode(texture_data, u, v, d) 表示对压缩纹理进行解码，并提取坐标为 u, v, 通道为 d 的纹理值，u 的范围为 0..region_width-1, v 的范围为 0..region_height-1, d 的范围为 0.. texture_channel_num-1。提取过程如下：

```

for(j=0;j< texture_channel_num;j++){
    sub_bitstream_decoded_data [i][j] = texturedecode(texture_data, region_u[i], region_v[i], j) × (2
^byteshift);
}

```

sub_bitstream_decoded_data [i] 将依据 8.2.6.3 所述过程进一步完成重建。

8.2.6.2.4 子码流视频解码和解包过程

对子码流进行视频解码和解包的步骤如下：

- a) 输入：待解码子码流 gsbs_sub_bitstream_data 和元数据中 video_decode_information 和 video_packing_information;
- b) 输出：子码流解码结果 sub_bitstream_decoded_data。

解码步骤如下：

a) 从 video_decode_information 中解析 packing_map_video_codec_id 字段；解码器根据 packing_map_video_codec_id 获取对应的视频解码器实例，将码流送入视频解码器进行解码。

- 1) 当 packing_map_video_codec_id 等于 0，进行如下步骤：

video_decoded_sub_bitstream = gsbs_sub_bitstream_data
即跳过视频解码步骤，子码流中的数据即为解码后的数据，用于后续的代表重建过程。

- 2) 当 packing_map_video_codec_id 等于 1，进行如下步骤：

video_decoded_sub_bitstream = AVC_decoder (gsbs_sub_bitstream_data)
即调用 AVC 解码器，对子码流中的数据进行视频解码，获得解码后的数据。

- 3) 当 packing_map_video_codec_id 等于 2，进行如下步骤：

video_decoded_sub_bitstream = HEVC_main_decoder (gsbs_sub_bitstream_data)
即调用 HEVC_main 解码器，对子码流中的数据进行视频解码，获得解码后的数据。

- 4) 当 packing_map_video_codec_id 等于 3，进行如下步骤：

video_decoded_sub_bitstream = HEVC_main_10_decoder (gsbs_sub_bitstream_data)
即调用 HEVC_main10 解码器，对子码流中的数据进行视频解码，获得解码后的数据。

- 5) 当 packing_map_video_codec_id 等于 4，进行如下步骤：

video_decoded_sub_bitstream = VVC_main_10_decoder (gsbs_sub_bitstream_data)
即调用 VVC_main_10 解码器，对子码流中的数据进行视频解码，获得解码后的数据。

注：以上视频解码过程均解码为 YUV444P，解码后同一 packing map 中同一像素位置的所有属性值均属于同一 3DGS 单元。

b) 数据解包，将包含了多个区域块的视频解码数据，根据元数据中的 video_packing_information 提取区域数据；

- 1) 进行区域元数据解析：从元数据中读取视频的长与宽 (packing_map_width, packing_map_height) 视频的帧数 (packing_map_frame_num_minus1)，每个区域的长与宽 (region_width, region_height)，从每个 region 中提取数据的扫描顺序 (packing_scanning_type) 以及 region 的个数 (packing_region_count_minus1)。

- 2) 从每个 region 中解码出每个 3DGS 单元的解码结果，以下为第 n 个 region 的解码步骤，n 的范围为 0.. packing_region_count_minus1:

计算每个 3DGS 单元的属性数据的坐标，其中 i 为第 i 个 3DGS 单元的属性数据，范围为 $0..region_width \times region_height - 1$ ， $region_u[i]$ 、 $region_v[i]$ 和 $region_frame_index$ 分别表示 $region$ 中第 i 个 3DGS 单元的属性数据在视频上的横坐标、纵坐标和帧索引， $region_frame_index$ 的范围为 $0..packing_map_frame_num_minus1$ ， $region_u$ 的范围为 $0..region_width - 1$ ， $region_v$ 的范围为 $0..region_height - 1$ 。提取过程如下：

——若 $packing_scanning_type$ 为 0 进行逐行提取：

```
for(i=0; i< region_width× region_height; i++){
    region_u[i] = i % region_width + region_top_left_x[n];
    region_v[i] = i / region_width + region_top_left_y[n];
}
```

——若 $packing_scanning_type$ 为 1 进行分块逐行提取， $packing_scanning_block_size$ 为块大小：

```
block_num_x = region_width / packing_scanning_block_size;
for(i=0; i< region_width× region_height; i++){
    block_idx = i / (packing_scanning_block_size × packing_scanning_block_size);
    pixel_idx = i % (packing_scanning_block_size × packing_scanning_block_size);
    block_u = block_idx % block_num_x;
    block_v = block_idx / block_num_x;
    region_u[i] = block_u × packing_scanning_block_size + pixel_idx % packing_scanning_block_size;
    region_v[i] = block_v × packing_scanning_block_size + pixel_idx / packing_scanning_block_size;
    region_u[i] = region_u[i] + region_top_left_x [n];
    region_v[i] = region_v[i] + region_top_left_y [n];
}
```

——若 $packing_scanning_type$ 为 2 进行按照 2D 莫顿顺序提取，设 2D 莫顿扫描顺序的横坐标和纵坐标数组为 $morton_scanning_u$ 、 $morton_scanning_v$ ：

```
for(i=0; i< region_width× region_height; i++){
    region_u[i] = morton_scanning_u[i] + region_top_left_x[n];
    region_v[i] = morton_scanning_v[i] + region_top_left_y[n];
}
```

依据坐标将 $region$ 中数据提取到 $region$ 子码流解码结果，其中 $sub_bitstream_decoded_data [i][j]$ 表示 $region$ 中第 i 个单元第 j 通道的解码结果， $video_decoded_sub_bitstream [region_frame_index][u][v][d]$ 表示第 $region_frame_index$ 帧坐标为 u, v 通道为 d 的视频解码数据， $region_frame_index$ 的范围为 $0.. packing_map_frame_num_minus1$ ， u 的范围为 $0..region_width - 1$ ， v 的范围为 $0..region_height - 1$ ， d 的范围为 $0..2$ ，每个 $region$ 的 $sub_bitstream_decoded_data$ 数据用于 8.2.6.3 的区域重建。提取过程如下：

```
for(i=0; i< region_width× region_height; i++){
    for(j= attribute_channel_offset[n]; j< attribute_channel_offset[n] + attribute_channel_num[n]; j++){
        sub_bitstream_decoded_data [i][j] = video_decoded_sub_bitstream [region_frame_index
[n]][region_u[i]][ region_v[i]][j- attribute_channel_offset[n]] × (2 ^byteshift[n]);
    }
}
```

8.2.6.3 表征重建过程

8.2.6.3.1 概述

3DGS 属性数据的表征重建过程是将 8.2.6.2 解码后的子码流数据重建为完整的 3DGS 属性数据，3DGS 属性数据类型符合 7.2.1.2 的定义。表征重建过程首先对得到的子码流进行属性重组，然后对每个子集合的每个属性数据进行逆预测、逆量化和逆变换三个步骤，最后将 3DGS 子集合合并，重建为 3DGS 属性数据，输出结果直接用于后续 3DGS 渲染，如图 7 所示。

- 输入：子码流解码结果 $sub_bitstream_decoded_data$ 和元数据中 $reconstruction_information$ ；
- 输出：重建的 3DGS 属性数据 $reconstructed_3dgs$ ，符合 7.2.1.2 的定义。

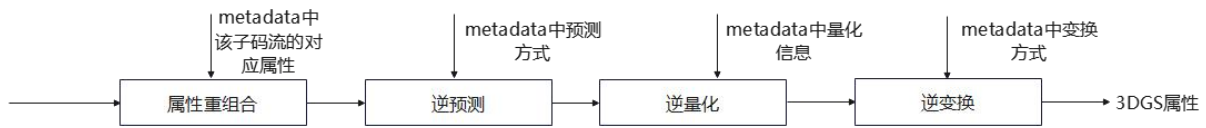


图7 表征重建过程

解码器处理第 i 个子码流, i 的范围为 $0..sub_bitstream_num-1$, 从元数据中 `gsbs_metadata` 解析第 i 个子码流对应的 `sub_bitstream_decode_type[i]` 字段。

表征重建的步骤如下:

——对每个子码流解码后的数据进行重组, 得到每个属性的数据。

```
predicted_data = reorganize(decoded_data)
```

——获取每个属性的重建信息 `reconstruction_information`, 对每个属性进行逆预测、逆量化和逆变换。其中对第 i 个子码流的第 j 个属性处理, j 的范围为 $0..reconstruction_count-1$:

```
depredicted_data[i][j] = depredict(predicted_data[i][j], reconstruction_information[i][j])
```

```
dequantized_data[i][j] = dequantize(depredicted_data[i][j], reconstruction_information[i][j])
```

```
detransformed_data[i][j] = detransform(dequantized_data[i][j], reconstruction_information[i][j])
```

——合并得到 3DGS 重建子集合, 得到重建的 3DGS 属性数据 `reconstructed_3dgs`, 其中对第 k 个子集合进行处理, k 的范围为 $0..gs_subset_num-1$:

```
reconstructed_3dgs[attribute_type] = merge(reconstructed_3dgs[attribute_type],
detransformed_data[k][attribute_type])
```

8.2.6.3.2 属性重组

8.2.6.3.2.1 概述

属性重组是将解码得到的数据重新组合, 获得每个属性对应量化数据的过程。

8.2.6.3.2.2 输入输出

输入: `sub_bitstream_decoded_data` (解码数据), `metadata` (元数据);

输出: `predicted_data[gs_subset_id][attribute_type][gs_points_index][channel_index]` (属性量化数据), 其中 `gs_subset_id` 为 3DGS 子集合索引序号, `attribute_type` 为 3DGS 的属性类型, `gs_points_index` 表示第 `gs_points_index` 个高斯球, `channel_index` 表示第 `channel_index` 个通道。

8.2.6.3.2.3 属性重组步骤

对于 3DGS 属性重组的具体步骤如下:

a) 初始化所有属性

```
predicted_data[gs_subset_id][attribute_type][gs_points_index][channel_index] = 0;
```

b) 对第 i 个子码流进行重组过程如下:

——当 `sub_bitstream_decode_type` 为 0 时, 即对应获得的熵解码之后的子码流, 过程如下:

```
attribute_channel_num = get_attribute_channel_num(attribute_type);
```

```
attribute_channel_offset = get_attribute_channel_offset(attribute_type);
```

```
for (gs_points_index = 0; gs_points_index < sub_gs_points_num; gs_points_index++) {
```

```
    for (k = 0; k < attribute_channel_num; k++) {
```

```
        predicted_data[gs_subset_id][attribute_type][gs_points_index][attribute_channel_offset+k] =
sub_bitstream_decoded_data[gs_points_index * attribute_channel_num+k];
```

```
    }
```

```
}
```

——当 `sub_bitstream_decode_type` 为 1 时, 即对应获得的纹理解码和解包之后的子码流, 解码时按照 `region` 顺序重组, 不同 `region` 对应属性的不同通道, 对应关系为 $c = region_idx \times texture_channel_num + texture_channel$ 。其中 c 为属性通道, `attribute_channel_offset` 为 `region` 对应的基础通道偏移, `region_idx` 表示第 `region_idx` 个 `region`, `texture_channel` 为数据所在的纹理通道, 过程如下:

```
for (j = 0; j < packing_region_count_minus1+1; j++) {
```

```
    attribute_channel_offset = 0;
```

```
    for (k = 0; k < texture_channel_num; k++) {
```

```
        for (gs_points_index = 0; gs_points_index < sub_gs_points_num[i]; gs_points_index++) {
```

```

        predicted_data[gs_subset_id[i]][attribute_type][gs_points_index][attribute_channel_offset
+k] += sub_bitstream_decoded_data[i][j][gs_points_index][k];
    }
    attribute_channel_offset = attribute_channel_offset + texture_channel_num;
}
}

```

——当 sub_bitstream_decode_type 为 2 时，即对应获得的视频解码和解包之后的子码流，过程如下：

```

for (k=0; k<packing_region_count_minus1+1; k++){
    frame_idx = region_frame_index[k];
    for (l=0; l<attribute_channel_num[k]; l++){
        for (gs_points_index = 0; gs_points_index < sub_gs_points_num[i]; gs_points_index++){
            predicted_data[gs_subset_id[i]][attribute_type][gs_points_index][attribute_channel_offset[k]+l] += sub_bitstream_decoded_data[frame_idx][k][gs_points_index][l];
        }
    }
}

```

8.2.6.3.3 逆预测

8.2.6.3.3.1 概述

对子码流数据执行逆预测，得到逆预测后的数据；
 预测方式由元数据中的 prediction_type 字段指定：
 0：无预测，直接使用原始数据；
 1：分块差分预测。

8.2.6.3.3.2 输入输出

输入：predicted_data[gs_points_index][channel_index] (预测数据), metadata(元数据)
 输出：depredicted_data[gs_points_index][channel_index] (逆预测数据)

8.2.6.3.3.3 逆预测步骤

对于3DGS子集合gs_subset_id下，属性类型attribute_type的数据进行逆预测的具体步骤如下：

——当 prediction_type 为 0 时，不进行逆预测，即：

```
depredicted_data = predicted_data
```

——当 prediction_type 为 1 时，进行分块逆差分预测，即：

```
block_num = ceil(sub_gs_points_num ÷ block_size)
```

然后对每一个块进行独立的逆差分预测

```
block_size_squared = block_size × block_size
```

```
for (i=0; i<block_num; i++){
```

```
    depredicted_data[i × block_size_squared] = predicted_data [i × block_size_squared];
```

```
    msb_cum = predicted_data [i × block_size_squared];
```

```
    for(j=1; j<block_size_squared && i × block_size_squared + j < sub_gs_points_num; j++){
```

```
        msb = predicted_data [i × block_size_squared + j] / (2^ byteshift);
```

```
        lsb = predicted_data [i × block_size_squared + j] % (2^ byteshift);
```

```
        msb_cum = (msb_cum + msb) % 256;
```

```
        depredicted_data[i × block_size_squared + j] = msb_cum × (2^ byteshift) + lsb;
```

```
    }
```

```
}
```

其中 block_size, byteshift 均由 8.2.3.2.4 的 reconstruction_information 获得。

8.2.6.3.4 逆量化

8.2.6.3.4.1 概述

对经量化编码的子码流数据执行逆量化，得到逆量化后的数据。量化方式由元数据中的

quantization_type 字段指定:

- 0: 不量化, 直接使用原始浮点数据;
- 1: 均匀逆量化, 使用最大值为 1, 最小值为 0 的固定范围进行最大最小值量化;
- 2: 基于最大最小值均匀逆量化, 从 metadata 中读取子码流的最大最小值;
- 3: 分组逆量化, 从 metadata 中读取子码流每组的最大最小值;
- 4: 高斯逆量化;
- 5: 自适应逆量化。

8.2.6.3.4.2 输入输出

输入: depredicted_data [gs_points_index][channel_index] (逆预测数据), metadata (元数据);

输出: dequantized_data [gs_points_index][channel_index] (逆量化数据)。

8.2.6.3.4.3 逆量化步骤

对于 3DGS 子集合 gs_subset_id 下, 属性类型 attribute_type 的量化数据逆量化的具体步骤如下:

——当 quantization_type 为 0 时, 不进行逆量化, 即:

```
dequantized_data = depredicted_data
```

——当 quantization_type 为 1 时, 对每一个高斯球的每一个通道进行均匀逆量化, 即:

```
min = 0;
```

```
max = 1;
```

```
for ( d=0; d< component;d++)
```

```
    step = (max[d] - min[d]) ÷ ((1 << quantization_bitdepth) - 1);
```

```
    for ( i=0; i< sub_gs_points_num; i++)
```

```
        dequantized_data [i][d] = min[d] + depredicted_data[i][d] × step;
```

——当 quantization_type 为 2 时, 对每一个高斯球的每一个通道进行基于最大最小值的均匀逆量化, 即:

```
min = quantization_min_value;
```

```
max = quantization_max_value;
```

```
for ( d=0; d< component; d++)
```

```
    step = (max[d] - min[d]) ÷ ((1 << quantization_bitdepth) - 1)
```

```
    for ( i=0; i< sub_gs_points_num; i++)
```

```
        dequantized_data [i][d] = min[d] + depredicted_data[i][d] × step
```

——当 quantization_type 为 3 时, 对每一个高斯球的每一个通道进行基于最大最小值的分组逆量化, 即:

```
index = 0
```

```
for ( j=0; j< patch_num;j++)
```

```
    start_index = index;
```

```
    end_index = index + patch_size[j];
```

```
    index = index + patch_size[j];
```

```
    min = quantization_min_value[j];
```

```
    max = quantization_max_value[j];
```

```
    for ( d=0;d< component; d++)
```

```
        step = (max[d] - min[d]) ÷ ((1 << quantization_bitdepth) - 1);
```

```
        for ( i= start_index;i< min(end_index, sub_gs_points_num); i++)
```

```
            dequantized_data [i][d] = min[d] + depredicted_data[i][d] × step;
```

8.2.6.3.5 逆变换

8.2.6.3.5.1 概述

对经逆量化的子码流数据执行逆变换, 逆变换过程用于将变换域中的数据恢复为原始空间域数据。

变换方式由元数据中的 transformation_type 字段指定:

- 0: 不变换, 直接使用原始数据;
- 1: 欧拉角转四元数的变换;

2: 基于重要性变换, 重要性 (importance) 作为子码流包含的数据类型的一种, attribute_type 符合表 60 定义, 解码过程和属性数据解码过程一致;

3: PCA 变换。

8.2.6.3.5.2 输入输出

输入: dequantized_data [gs_points_index][channel_index] (逆量化数据), metadata (元数据)

输出: detransformed_data [gs_points_index][channel_index] (逆变换数据)

8.2.6.3.5.3 逆变换步骤

对于 3DGS 子集合 gs_subset_id 下, 属性类型 attribute_type 的逆预测数据逆变换的具体步骤如下:

——当 transformation_type 为 0 时, 不进行逆变换, 即:

```
detransformed_data = dequantized_data;
```

——当 transformation_type 为 1 时, 对每一个高斯球进行欧拉角转四元数的逆变换, 即:

```
for ( i=0; i < gs_points_num; i++)
```

提取欧拉角 (弧度)

```
euler_x[i] = dequantized_data [i][0];
```

```
euler_y[i] = dequantized_data [i][1];
```

```
euler_z[i] = dequantized_data [i][2];
```

根据旋转顺序转换为四元数

```
quaternion = euler_to_quaternion(euler_x, euler_y, euler_z);
```

存储四元数 (w, x, y, z 顺序)

```
detransformed_data[i][0] = quaternion[i].w;
```

```
detransformed_data[i][1] = quaternion[i].x;
```

```
detransformed_data[i][2] = quaternion[i].y;
```

```
detransformed_data[i][3] = quaternion[i].z;
```

——当 transformation_type 为 2 时, 对每一个高斯球进行基于重要性的逆变换, 即:

```
for ( i=0; i < gs_points_num; i++)
```

```
detransformed_data[i] = dequantized_data [i] ÷ importance[i];
```

——当 transformation_type 为 3 时, 对每一个高斯球进行基于 PCA 的逆变换, 即:

```
for ( i=0; i < gs_points_num; i++)
```

```
for ( j=0; j < transformation_basis_dim; j++)
```

```
detransformed_data[i][j] = 0;
```

```
for ( k=0; k < component; k++)
```

```
detransformed_data [i][j] += dequantized_data [i][k] × transformation_basis_vector[k][j];
```

```
detransformed_data[i][j] = detransformed_data[i][j] × component_std[j] + component_means[j];
```

其中, 辅助函数: XYZ 顺序欧拉角到四元数转换如下:

```
FUNCTION euler_to_quaternion (x, y, z)
```

```
qw = cos(x/2) × cos(y/2) × cos(z/2) + sin(x/2) × sin(y/2) × sin(z/2);
```

```
qx = sin(x/2) × cos(y/2) × cos(z/2) - cos(x/2) × sin(y/2) × sin(z/2);
```

```
qy = cos(x/2) × sin(y/2) × cos(z/2) + sin(x/2) × cos(y/2) × sin(z/2);
```

```
qz = cos(x/2) × cos(y/2) × sin(z/2) - sin(x/2) × sin(y/2) × cos(z/2);
```

```
return quaternion (qw, qx, qy, qz)
```

最后合并得到 3DGS 重建子集合, 得到重建的 3DGS 属性数据 reconstructed_3dgs。

输入: detransformed_data (逆变换数据), metadata (元数据)

输出: reconstructed_3dgs (重组后的 3DGS 数据)

对第 k 个子集合进行合并, k 的范围为 0.. gs_subset_num-1, 过程如下:

```
reconstructed_3dgs[attribute_type] = merge(reconstructed_3dgs[attribute_type],
```

```
detransformed_data[gs_subset_id[k]][attribute_type])
```

得到的 reconstructed_3dgs 即为重建后的 3DGS 属性数据, 符合 7.2.1.2 的定义, 可用于 3DGS 的渲染。

渲染。

9 基于 ISOBMFF 的三维图像格式封装

9.1 概述

基于 ISOBMFF 的三维图像格式封装的描述包含基于 ISOBMFF 封装 glTF 的规范，遵循 ISOBMFF 标准的 MP4 封装实例和 HEIF 封装实例，符合 ISO/IEC 14496-12 中的定义。

其中 ISOBMFF 为通用媒体容器格式标准，定义了文件中存储视频、音频、字幕、元数据等各种媒体数据的通用规则和结构，glTF 文件为第 7 章中定义的基于 glTF 存储三维图像格式。

本章包含以下内容：

- a) 基于 ISOBMFF 封装 glTF 的规范：定义了基于 ISOBMFF 基础容器格式上封装 glTF 方案，见 9.2；
- b) MP4 封装实例：定义了采用 MP4 格式封装视频，封面和 glTF 文件的方法，见 9.3；
- c) HEIF 封装实例：定义了采用 HEIF 格式封装图片和 glTF 文件的方法，见 9.4。

9.2 基于 ISOBMFF 封装 glTF 规范

9.2.1 概述

基于 ISOBMFF 封装 glTF 规范包含在 ISOBMFF 基础容器格式上封装 glTF 的格式要求和从 ISOBMFF 中解封装获取 glTF 文件的方法，符合 ISO/IEC 14496-12 中的定义，其中 glTF 文件为采用第 7 章定义的基于 glTF 的三维图像存储格式。

ISOBMFF 文件格式中包含 ftyp，其声明了文件类型和 brand，其中 compatible_brands 应包含 glti，表明包含 glTF 数据；包含 meta，用于存储 glTF 文件，其中 glTF 文件符合 ISO/IEC 12113:2022 中的定义。

9.2.2 基于 ISOBMFF 封装 glTF 格式要求

封装 glTF 格式包含 brand 为“glti”的标识，且符合 ISO/IEC 23090-14 中 7.3 “glti” brand 的规定。

其中，‘iinf’中包含 glTF 格式文件的 infe item，infe item 包括 JSON 格式文件（.gltf），二进制文件（.bin）和 GLB 格式文件（.glb），其中 JSON 格式文件（.gltf），二进制文件（.bin）的文件类型符合 ISO/IEC 23090-14 中 7.3 的规定，GLB 格式的文件（.glb）对应内容类型（content_type）为 model/gltf-binary，对应原始二进制数据为完整的 GLB 格式文件内容。

当 meta box 中的 hdlr box 的 handler_type 不为‘gltf’时，文件格式应符合本文件定义的约束条件：

- a) 应包含‘iinf’且符合以下条件：

——‘iinf’中应包含 glTF 格式文件对应的全部 infe item，每个 infe item 包含标识项号（item_ID）、内容类型（content_type）；用于容纳 glTF 格式文件类型。

——‘iinf’中可包含非 glTF 格式文件对应的 infe item。

其中，iinf 的 version 应为 0 或者 1；

infe 的 version 应为 2 或者 3；

JSON 格式文件（.gltf）对应内容类型（content_type）为 model/gltf+json；

二进制文件（.bin）对应内容类型（content_type）为 application/gltf-buffer；

GLB 格式文件（.glb）对应内容类型（content_type）为 model/gltf-binary。

- b) 应包含‘grpl’且符合以下条件：

——‘grpl’中应包含 glTF 格式对应的分组 box ‘gltf’，

——‘grpl’中可包含非 glTF 格式文件对应的分组 box；

其中‘gltf’用于容纳 glTF 格式文件分组，可以包含 group_id, num_entities_in_group 和每个 entity_id；每个 entity_id 分别对应 infe item 中的 item_ID。

- c) 应包含‘iloc’且符合以下条件：

——‘iloc’应包含 glTF 格式每个文件对应的项，每项包含 item_ID, extent_offset, extent_length，可包含 construction_method；item_ID 和 1) 中的 item_ID 项对应；extent_offset 和 extent_length 来指示 glTF 格式每个 item 存储的偏移和长度。用于容纳 glTF 格式文件位置。

——‘iloc’中可包含非 glTF 格式文件对应的文件位置项；

其中，iloc 的 version 可为 0, 1 或者 2，construction_method 可以为 0, 1 或者 2，指示 item 项文件存储在 file, idat 或 item 中。

d) 应包含 glTF 格式的每个 item 码流, 其存储在格式文件 (file, idat 或 item) 中, 和 iloc 中的 construction_method 对应, 且该码流的起始位置和长度对应‘iloc’中的 item_ID 项的 extent_offset, extent_length。

e) 可包含‘iref’且符合以下条件:

——‘iref’的 referenceType 应设置为‘auxl’;

——当 item 包含引用 primary item 的 gltf 项时, ‘iref’的 ref_count 应为 1, to_item_id 应为 primary item 的 id。

9.2.3 获取 glTF 资产格式的过程

输入: 符合 9.2.2 中封装 glTF 格式文件结构;

输出: 符合第 7 章中的 glTF 格式的三维图像格式;

获取 glTF 资产格式的过程如下:

a) 解析 ftyp, 查看支持的 brand; brand 包含‘glti’时进行后续处理, 否则不进行后续处理;

b) 解析 meta, 获取 meta 的 hdlr;

c) 当 hdlr 中的 handler_type 为 gltf 时, 获取 glTF 格式文件, 获取过程符合 ISO/IEC 23090-14 中 7.3 的定义;

d) 当 hdlr 中的 handler_type 不为 gltf 时, 依据 9.2.2 获取 glTF 格式文件, 获取过程:

应获取 grpl, 且获取 grpl 中的‘gltf’box, 如存在 grpl 且 grpl 中存在‘gltf’box 时:

解析 glTF 文件的流程如下:

1) 从‘gltf’box 的组中获取 glTF 格式文件分组, 其中‘gltf’box 数据符合 9.2.2 b) 的规定;

2) 依据‘gltf’box 中的 entity_id, 从 iinf 中对应 infe 获取 glTF 格式文件类型;

3) 从 9.2.2 c) iloc 中对应的 item 获取 glTF 格式文件位置 extent_offset, extent_length, 可获取 construction_method;

4) 依据 3) 中的文件位置, 从码流中获取 gltf 文件的内容;

5) 可从 9.2.2 e) iref 中获取 glTF 的 referenceType 和对应的 primary item。

解析 meta 下非 glTF 文件对应项的流程如下:

1) 从 iinf 中获取非 glTF 对应的其余 infe 类型;

2) 从 iloc 中获取非 glTF 对应的其余 item 的位置 extent_offset, extent_length, 可获取 construction_method;

3) 依据 2) 中的文件位置从码流中获取全部文件的项目。

9.3 基于 MP4 的三维图像格式封装实例

9.3.1 概述

基于 MP4 的三维图像格式封装实例包含基于 MP4 文件格式规范封装视频, 封面和 glTF 的方法, 符合 ISO/IEC 14496-14 中的定义, 其中 MP4 文件为 ISO/BMFF 格式的一种封装实例。该格式封装结构如图 8 和表 63 所示。

MP4 文件格式中包含 ftyp, 其声明了文件类型和 brand, 其中 compatible_brands 应包含 isom, mp42 等视频格式中的至少一种, 表明文件格式中包含视频; 且包含 glti, 表明包含 glTF 数据;

MP4 文件格式包含 mdat, 用于存储视频的数据;

MP4 文件格式包含 moov, 用于存储视频的数据描述信息;

MP4 文件格式包含 meta, 用于存储 glTF 数据; 其中 glTF 数据应采用 GLB (glTF Binary) 格式封装, GLB 格式符合 ISO/IEC 12113:2022 的规定; 即 iinf 中 glTF 格式文件对应的 infe 项, 其 content_type 应为 model/gltf-binary, 对应原始二进制数据为完整的 GLB 格式文件内容。

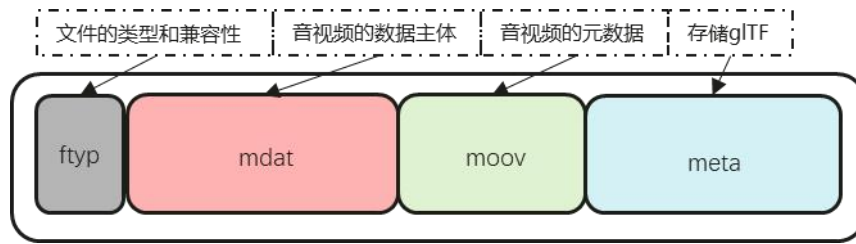


图 8 基于 MP4 的三维图像格式封装结构

表 63 基于 MP4 的三维图像格式封装结构表

Box 的类型及结构		
File 层级 box 标识符和全称	File 层级 box 的子 box 标识符和全称	上一层级 box 的子 box 标识符和全称
ftyp (FileTypeBox)		
moov (MovieBox)	trak (TrackBox)	
	trak (TrackBox)	
mdat (MediaDataBox)		
meta (MetaBox)	hdlr (HandlerBox)	
	grpl (GroupsListBox)	gltf (glTFGroupBox)
	iinf (ItemInfoBox)	infe (ItemInfoEntryBox)
		infe (ItemInfoEntryBox)
	iloc (ItemLocationBox)	
idat (ItemDataBox)		

注：最左列为文件 File 层级 box 定义，同一行内右侧列的 box 为其左侧列对应 box 的直接子 box，层级自左向右逐级嵌套。如：infe box 为 iinf box 的子 box，iinf box 为 meta box 的子 box。

9.3.2 封装视频

符合 ISO/IEC 14496-14 的规定。

9.3.3 封装封面

封面信息用于在不影响视频播放内容的前提下，为媒体文件提供封面图像显示功能，支持在播放器或媒体管理系统中展示视频的静态缩略图或封面图。

封装封面遵循 ISO/IEC 14496-12 国际标准定义的 ISOBMFF 基础文件结构，封面图像数据通过 covr box (CoverArtBox) 完成封装存储。该 covr box 的层级嵌套为：以文件根层级 (File 级) 的顶层 moov box (MovieBox) 为根节点，其直接子级为 udta box (UserDataBox)；udta box 的直接子级为 meta box (MetaBox)；meta box 的直接子级为 ilst box (ItemListBox)；covr box 为 ilst box 的直接子级 box。

其中 covr box 是 Cover Art 的容器，用于存储封面图像的相关信息，它包含一个或多个 data box，每个 data box 为一张封面图像。封面图像不参与视频的时间轴播放，但播放器或内容呈现系统可以通过它在播放前提供静态预览或缩略图，从而提升用户体验。data box 中包含 data_type，用于指定图像格式，其中 PNG 对应 0x0E，JPEG 对应 0x0D，BMP 对应 0x1B；data_payload 为封面图像的完整字节序列。

9.3.4 封装 glTF 三维图像格式

符合 9.2.2 的规定。

9.4 基于 HEIF 的三维图像格式封装实例

9.4.1 概述

基于 HEIF 的三维图像格式封装实例包含基于 HEIF 文件格式规范封装图片和 glTF 的方法，符合 ISO/IEC 23008-12 中的定义，其中 HEIF 文件为 ISOBMFF 格式的一种封装实例。

HEIF 文件格式中包含 `ftyp`，其声明了文件类型和 `brand`，其中 `compatible_brands` 应包含 `mif1`，`heic` 等图片格式中的至少一种，表明文件格式中包含图片；且包含 `glti`，表明包含 glTF 数据。

HEIF 文件格式包含 `meta`，用于存储图片文件和 glTF 数据。其中 `meta` 应符合以下规范：

a) `meta` 的 `hdlr` 盒子中的 `handler_type` 应为 `'pict'`；

b) `meta` 的 `iinf` 盒子包含图片文件和 glTF 的数据项 (`infe`)；其中 glTF 数据应采用 GLB 格式封装，GLB 格式符合 ISO/IEC 12113:2022 的规定；即 `iinf` 中 glTF 格式文件对应的 `infe` 项，其 `content_type` 应为 `model/gltf-binary`，对应原始二进制数据为完整的 GLB 格式文件内容。应包含一个或多个图片的数据项，用于封装三维图像格式对应的图片，图片数据项的类型取决于数据项对应图片的编码格式，比如将以 HEVC 编码的图片封装为数据项时，图片数据项的类型应为 `'hvc1'` 或 `'lhv1'`。

9.4.2 封装图片

符合 ISO/IEC 23008-12 的规定。

9.4.3 封装 glTF 三维图像格式

符合 9.2.2 的规定。

附录 A (规范性) 档次

A.1 概述

档次提供了一种定义本文件的语法和语义的子集的手段。档次对码流进行了各种限制，同时规定了对某一特定码流解码所需要的解码器能力。档次是本文件规定的语法、语义及算法的子集。符合某个档次规定的解码器应完全支持该档次定义的子集。

本附录描述了不同档次所对应的各种限制。所有未被限定的语法元素和参数可以取任何本文件所允许的值。如果一个解码器能对某个档次所规定的语法元素的所有允许值正确解码，则称此解码器在这个档次和级别上符合本部分。如果一个码流中不存在某个档次所不允许的语法元素，并且其所含有的语法元素的值不超过此档次所允许的范围，则认为此码流在这个档次上符合本部分。

`profile_idc`定义了码流的档次和级别。

A.2 档次

本部分定义的档次见表A.1。

表 A.1 档次

profile_idc的值	档次	描述
0	通用档次 (general profile)	对应使用通用档次工具压缩的码流，支持8.2.6中所有配置。
1	基础档次 (Main profile)	对应使用基础档次工具压缩的码流，包含视频或者纹理解码配置约束
2	快速档次 (Fast profile)	对应使用快速档次工具压缩的码流，仅包含8.2.6.2.2中规定的熵解码压缩
其他	保留	保留

通用档次的码流中，`profile_idc`的值应为0，支持8.2.6中所有配置，所有字段取值限制都是在解码码流时规定的限制，无额外的约束条件。

基础档次的码流应满足以下条件：

- `profile_idc`的值应为1
- 所有`entropy_decode_type`的值应为0或者1
- 所有`packing_map_texture_codec_id`的值应为0或者1
- 所有`packing_map_video_codec_id`的值应为0或者2
- 所有`transformation_type`的值应为0，1或者2

快速档次的码流应满足以下条件：

- `profile_idc`的值应为2
- `gs_subset_num`的值应为1
- 所有`sub_bitstream_decode_type`的值应为0
- 所有`entropy_decode_type`的值应为1
- 所有`quantization_type`的值应为2
- 所有`prediction_type`的值应为0
- 所有`transformation_type`的值应为0

附录 B (资料性)

三维高斯泼溅的 HDR 渲染参数使用推荐方案

B.1 三维高斯泼溅的 HDR/SDR 渲染选择推荐方案

使用 gITF 存储的 3DGS 文件中可能包括 HDR 元数据和色彩空间信息，为保证渲染结果的跨端一致性，宜在不同设备上采用一致的策略选择 HDR/SDR 渲染，选择方案见表 B.1。

表 B.1 三维高斯泼溅的 HDR/SDR 渲染选择推荐方案表

HDR元数据	色彩空间	策略
可获取	可获取	使用获取的HDR元数据和色彩空间做HDR渲染
可获取	无法获取	默认使用ITU-R BT. 709中定义的色域和sRGB传递函数做HDR渲染
不可获取	可获取	如果色彩空间使用ITU-R BT. 709中定义的色域和sRGB传递函数则做SDR渲染，否则做HDR渲染
不可获取	无法获取	默认使用ITU-R BT. 709中定义的色域和sRGB传递函数做SDR渲染

B.2 三维高斯泼溅的混合色彩空间渲染推荐方案

考虑到实际应用场景中，可能出现来源不同的 3DGS 需要混合渲染到同一场景中的情况，因此在每个 3DGS 投影到二维平面上做色彩混合 (alpha blending) 之前，将其色彩空间与 3DGS 的色彩空间统一，以保证混合结果正确。实现方案如下：

a) 确认纹理色彩空间

将所有 3DGS 的色彩空间中色域范围最广的色彩空间作为纹理色彩空间，将所有 3DGS 统一渲染到该色彩空间。

b) 逐 3DGS 混合渲染

逐 3DGS 渲染投影、转换色彩空间，混合到纹理，每个 3DGS 图元的处理步骤如下图所示：



图 B.1 三维高斯泼溅的混合色彩空间渲染流程

图中虚线框为可选步骤，当 3DGS 的色彩空间与纹理色彩空间相同时，无需转换到 3DGS 色彩空间。

B.3 三维高斯泼溅的 HDR 元数据相机参数使用推荐方案

由于拍摄场景不同视角的明暗特点存在差异，3DGS 的重建过程中在不同视角获得的动态元数据存在差异，因此在存储动态元数据时应选择明暗特征有代表性的视角的动态元数据，同时记录每个视角的相机参数。在重建时，可根据当前渲染相机参数和动态元数据的相机参数计算插值权重，对记录的动态元数据进行插值计算得到当前渲染相机位置应使用的动态元数据，可使用相机之间的欧氏距离权重等方法来计算插值权重。

参 考 文 献

- [1] Kerbl B, Kopanas G, Leimkühler T, et al. 3d gaussian splatting for real-time radiance field rendering[J]. ACM Trans. Graph., 2023, 42(4): 139:1-139:14.
- [2] <https://www.khronos.org/files/gltf20-reference-guide.pdf>
- [3] Display-P3 <https://registry.color.org/rgb-registry/displayp3>
- [4] MORTON G M. A computer oriented geodetic data base and a new technique in file sequencing[R]. Ottawa: IBM Ltd., 1966.
- [5] Khronos Adaptive Scalable Texture Compression (ASTC) Specification. https://registry.khronos.org/OpenGL/extensions/KHR/KHR_texture_compression_astc_hdr.txt Accessed: 2026-03-05. The Khronos Group. 2024.
- [6] UASTC LDR 4x4 Texture Specification. https://github.com/BinomialLLC/basis_universal/wiki/UASTC-LDR-4x4-Texture-Specification. Binomial LLC.
- [7] ETC1S Texture Video Specification. https://github.com/BinomialLLC/basis_universal/wiki/.basis-File-Format-and-ETC1S-Texture-Video-Specification. Binomial LLC.
-